



REGIONE PUGLIA

PROVINCIA DI FOGGIA



Comune di FOGGIA

<p>Proponente</p>	<p>ARTEMIS SRL Via Milazzo 17 - Bologna P.IVA 03986191207 artemis_pec@pec.it</p>  <p>Partnered by: </p>				
<p>Progettazione</p>	<p>Ing. Fabio Domenico Amico Via Milazzo, 17 40121 Bologna E-Mail: f.amico@green-go.net</p> 	<p>Studio Ambientale e Paesaggistico</p>	<p>Arch. Antonio Demaio Via N. delli Carri, 48 - 71121 Foggia (FG) Tel. 0881.756251 Fax 1784412324 E-Mail: sit.vega@gmail.com</p> 		
<p>Studio Incidenza Ambientale Flora fauna ed ecosistema</p>	<p>Dott. Forestale Luigi Lupo Corso Roma, 110 - 71121 Foggia E-Mail: luigilupo@libero.it</p> 	<p>Studio Idraulico</p>	<p>Ing. Antonella Laura Giordano Viale degli Aviatori, 73/F14 - 71122 Foggia (FG) Tel. 0881.331935 E-Mail: lauragioradano.ing@libero.it</p> 		
<p>Studio Agronomico</p>	<p>Dott. agr. Giuseppe Caputo Via Mazzini, 350 - 71010 Carpino (FG) E-Mail: giuseppecpt92@gmail.com</p> 	<p>Studio Geologico</p>	<p>Studio di Geologia Tecnica & Ambientale Dott.sa Geol. Giovanna Amedei Via Pietro Nenni, 4 - 71012 Rodi Garganico (FG) Tel./Fax 0884.965793 Cell. 347.6262259 E-Mail: giovannaamedei@fiscali.it</p> 		
<p>Studio Archeologico</p>	<p>Dott. Antonio Bruscella Piazza Alcide De Gasperi, 27 - 85100 Potenza (Pz) Tel. 340.5809582 E-Mail: antoniobruscella@hotmail.it</p>  <p>Odos s.n.c. di Bruscella Antonio e Russo Carla Via Vincenzo Capozzi, n. 8 71121 Foggia C.F e P.I. : 04124960719 e-mail: info@odosarcheologia.it</p> <p><i>Antonio Bruscella</i></p>				
<p>Opera</p>	<p>Progetto di realizzazione di un impianto agro-voltaico provvisto di inseguitori mono-assiali e relative opere connesse nel Comune di Foggia (FG), denominato Duanera.</p>				
<p>Oggetto</p>	<p>Folder: G1F8PR6_CalcoliPreliminari.zip</p> <p>Nome Elaborato: G1F8PR6_CalcoliPrelStrutture</p> <p>Descrizione Elaborato: DNRSS0R13-00 - Calcoli Preliminari Strutture</p>				
<p>00</p>	<p>Luglio 2022</p>	<p>Emissione per progetto definitivo</p>		<p>Vega</p>	<p>Arch. A. Demaio Artemis srl</p>
<p>Rev.</p>	<p>Data</p>	<p>Oggetto della revisione</p>		<p>Elaborazione</p>	<p>Verifica Approvazione</p>
<p>Scala:</p>	<p>G1F8PR6</p>				
<p>Formato:</p>	<p>Codice Pratica G1F8PR6</p>				

Progetto di un impianto agro-voltaico, denominato Duanera, provvisto di inseguitori mono-assiali e relative opere connesse, di potenza di immissione in rete pari a 25,025 MW (potenza di picco pari a 30,20 MWp), da ubicarsi nel Comune di Foggia (FG).

1. PREMESSA	3
2. NORMATIVA DI RIFERIMENTO	4
3. ASPETTI GEOTECNICI	5
4. CARATTERISTICHE GEOMETRICHE DEI TRACKER	6
5. MANUFATTI IN C.A. IN OPERA E PREFABBRICATI	10
5.1 Cabina di consegna primaria (30/150kV)	10
5.2 Cabina di raccolta (MT).....	Errore. Il segnalibro non è definito.
5.3 Cabine di trasformazione (bt/MT).....	Errore. Il segnalibro non è definito.
6. CARATTERISTICHE DEI MATERIALI IMPIEGATI	12
7. AZIONI SULLE STRUTTURE IN C.A E PARAMETRI SIMICI DI CALCOLO	13
7.1 Regolarità delle strutture e fattore di struttura	13
7.2 Combinazioni delle azioni sulla costruzione	13
7.3 Destinazione d'uso e sovraccarichi variabili dovuto alle azioni antropiche	16
7.4 Modello Di Calcolo.....	17
7.5 Durabilità	18
7.6 Misura Della Sicurezza.....	18
7.7 Schematizzazione Della Struttura.....	18
7.8 Combinazione Di Calcolo	20
7.9 Azioni Agenti Sulle Fondazioni.....	22
7.10 Parametri sismici	23
8. ANALISI DEI CARICHI STRUTTURE - TRACKER	24
8.1 Localizzazione dell'intervento	24
8.2 Calcolo delle azioni della neve.....	25
8.3 Calcolo delle azioni del vento	26
8.4 Valutazione dell'azione sismica	27
9. METODI E PARAMETRI DI CALCOLO DEI TRACKER	29
9.1 Il Metodo di studio	30
9.2 Vibrazione di risonanza.....	30
9.3 Flutter torsionale	30
9.4 Galoppo torsionale	31

Progetto di un impianto agro-voltaico, denominato Duanera, provvisto di inseguitori mono-assiali e relative opere connesse, di potenza di immissione in rete pari a 25,025 MW (potenza di picco pari a 30,20 MWp), da ubicarsi nel Comune di Foggia (FG).

9.5 Pressione del vento in galleria e test di velocità (modelli rigidi + DAF).....	32
9.6 Test dinamici della galleria del vento	33
9.7 Flutter Analysis Method (FAM)	33
9.8 Metodo di analisi del buffer (BAM)	34
9.9 Confronto tra carichi di vento statici e dinamici	34
10. PALI DI ILLUMINAZIONE E VIDEOSORVEGLIANZA	35
11. RECINZIONI E CANCELLI.....	35
12. CONCLUSIONI	36

Elenco delle Tabelle

Tabella 1: Valori dei coefficienti di combinazione (Tabella 2.5.I del D.M. 2018)	14
Tabella 2: Valori dei carichi di esercizio per le diverse categorie di edifici (Tabella 3.I.II del D.M. 2008).....	17

Elenco delle Tabelle

Fig. 1. Stralcio carta geologia (Relazione Geologica – Giovanna Amadei)	6
Fig.2. Vista frontale del tracker	7
Fig.3. Sezione trasversale Tracker con arco descritto durante la rotazione.....	8
Fig.4. Configurazione schematica	8
Fig.5. Schema Statico. Vista posteriore	9
Fig.6. Particolare palo di fondazione in acciaio	10
Fig.7. Parametri di pericolosità sismica del sito di intervento	15
Fig. 8. Legame costitutivo di progetto del calcestruzzo	20
Fig. 9. Legame costitutivo di progetto del acciaio per c.a.	20
Fig. 10. Classificazione sismica terreno	24
Fig. 11. Azione e distribuzione dei vortici di vento.....	31
Fig. 12. Effetti torsionali dovuti ai vortici di vento	31

Progetto di un impianto agro-voltaico, denominato Duanera, provvisto di inseguitori mono-assiali e relative opere connesse, di potenza di immissione in rete pari a 25,025 MW (potenza di picco pari a 30,20 MWp), da ubicarsi nel Comune di Foggia (FG).

1. PREMESSA

In riferimento all'Art. 29 del D.P.R. n. 207 del 05 ottobre 2010 "Regolamento di esecuzione ed attuazione del decreto legislativo 12 aprile 2006, n. 163, recante «Codice dei contratti pubblici relativi a lavori, servizi e forniture in attuazione delle direttive 2004/17/CE e 2004/18/CE», la presente relazione tecnica esplicita le assunzioni di progetto finalizzate al rispetto dei seguenti punti estratti dal sopracitato articolo 29:

- 1. I calcoli delle strutture e degli impianti devono consentire di determinare tutti gli elementi dimensionali, dimostrandone la piena compatibilità con l'aspetto architettonico ed impiantistico e più in generale con tutti gli altri aspetti del progetto. I calcoli delle strutture comprendono i criteri di impostazione del calcolo, le azioni, i criteri di verifica e la definizione degli elementi strutturali principali che interferiscono con l'aspetto architettonico e con le altre categorie di opere.*
- 2. I calcoli degli impianti devono permettere, altresì, la definizione degli eventuali volumi tecnici necessari e, per quanto riguarda le reti e le apparecchiature degli impianti, anche la specificazione delle caratteristiche.*
- 3. I calcoli di dimensionamento e verifica delle strutture e degli impianti devono essere sviluppati ad un livello di definizione tale che nella successiva progettazione esecutiva non si abbiano significative differenze tecniche e di costo. Nel caso di calcoli elaborati con l'impiego di programmi informatizzati, la relazione di calcolo specifica le ipotesi adottate e fornisce indicazioni atte a consentirne la piena leggibilità.*

La presente relazione di calcolo preliminare ha lo scopo di definire e verificare la geometria degli elementi strutturali di sostegno dei pannelli fotovoltaici e delle fondazioni delle cabine a servizio del progetto per la realizzazione di un impianto agro-fotovoltaico finalizzato sia alla produzione di energia elettrica tramite la tecnologia solare fotovoltaica avente potenza di picco pari a 30,2 MWp, che alla produzione agricola di oliveto e vigneto da superintensivi Comune di Foggia (Località "Duanera").

Resta inteso che le effettive strutture saranno opportunamente verificate in sede di progettazione esecutiva e che la tipologia individuata potrà essere sostituita con altra similare sempre nel rispetto di dimensioni e sistema di inseguimento solare.

Le strutture utilizzate sono quindi rappresentati da inseguitori solari monoassiali con sopra ancorati i moduli fotovoltaici le cui caratteristiche dimensionali e geometriche sono meglio rappresentate nelle allegate tavole grafiche. Tali strutture vengono infisse nel terreno mediante battitura dei montanti e senza utilizzo di calcestruzzo o altro materiale.

Progetto di un impianto agro-voltaico, denominato Duanera, provvisto di inseguitori mono-assiali e relative opere connesse, di potenza di immissione in rete pari a 25,025 MW (potenza di picco pari a 30,20 MWp), da ubicarsi nel Comune di Foggia (FG).

Relativamente alle altre strutture presenti nel progetto, quali elementi prefabbricati, vani tecnici, recinzione metallica, cancelli di ingresso e sistemi di illuminazione/videosorveglianza, vengono di seguito esplicitate le modalità di verifica richiamate al punto 3 dell'art. 29 del DRP 207/2010 rinviando quindi alla fase di progettazione esecutiva il calcolo e la verifica strutturale con relativi grafici e disegni esecutivi delle opere. A tal proposito si precisa che trattasi di elementi prefabbricati e/o accessori funzionali pre-assemblati forniti e posati in opera da ditte specializzate e quindi accompagnati da idonea certificazione di conformità anche sotto il profilo strutturale.

2. NORMATIVA DI RIFERIMENTO

- a) D.Min. Infrastrutture Min. Interni e Prot. Civile 17 Gennaio 2018 e allegate "Norme tecniche per le costruzioni".
- b) D.Min. Infrastrutture Min. Interni e Prot. Civile 14 Gennaio 2008 e allegate "Norme tecniche per le costruzioni".
- c) D.Min. Infrastrutture e trasporti 14 Settembre 2005 e allegate "Norme tecniche per le costruzioni".
- d) D.M. LL.PP. 9 Gennaio 1996 "Norme tecniche per il calcolo, l'esecuzione ed il collaudo delle strutture in cemento armato, normale e precompresso e per le strutture metalliche".
- e) D.M. LL.PP. 16 Gennaio 1996 "Norme tecniche relative ai <<Criteri generali per la verifica di sicurezza delle costruzioni e dei carichi e sovraccarichi>>".
- f) D.M. LL.PP. 16 Gennaio 1996 "Norme tecniche per le costruzioni in zone sismiche".
- g) Circolare 4/07/96, n.156AA.GG./STC. istruzioni per l'applicazione delle "Norme tecniche relative ai <<Criteri generali per la verifica di sicurezza delle costruzioni e dei carichi e sovraccarichi>>" di cui al D.M. 16/01/96.
- h) Circolare 10/04/97, n.65AA.GG. istruzioni per l'applicazione delle "Norme tecniche per le costruzioni in zone sismiche" di cui al D.M. 16/01/96.
- i) D.M. LL.PP. 20 Novembre 1987 "Norme tecniche per la progettazione, esecuzione e collaudo degli edifici in muratura e per il loro consolidamento".
- j) Circolare 4 Gennaio 1989 n. 30787 "Istruzioni in merito alle norme tecniche per la progettazione, esecuzione e collaudo degli edifici in muratura e per il loro consolidamento".
- k) D.M. LL.PP. 11 Marzo 1988 "Norme tecniche riguardanti le indagini sui terreni e sulle rocce, la stabilità dei pendii naturali e delle scarpate, i criteri generali e le prescrizioni per la progettazione, l'esecuzione e il collaudo delle opere di sostegno delle terre e delle opere di fondazione".

Progetto di un impianto agro-voltaico, denominato Duanera, provvisto di inseguitori mono-assiali e relative opere connesse, di potenza di immissione in rete pari a 25,025 MW (potenza di picco pari a 30,20 MWp), da ubicarsi nel Comune di Foggia (FG).

- l) D.M. LL.PP. 3 Dicembre 1987 “Norme tecniche per la progettazione, esecuzione e collaudo delle costruzioni prefabbricate”.
- m) UNI 9502 - Procedimento analitico per valutare la resistenza al fuoco degli elementi costruttivi di conglomerato cementizio armato, normale e precompresso - edizione maggio 2001.
- n) Ordinanza del Presidente del Consiglio dei Ministri n. 3274 del 20 marzo 2003 “Primi elementi in materia di criteri generali per la classificazione sismica del territorio nazionale e di normative tecniche per le costruzioni in zona sismica” e successive modificazioni e integrazioni.
- o) Eurocodice 3 UNI ENV 1993-1-1:1994;
- p) Eurocodice 3 UNI EN 1993-1-1:2014 Luglio 2014;
- q) Eurocodice 3 UNI ENV 1993-1-3:2000;
- r) Eurocodice 3 UNI EN 1993-1-3:2007 Gennaio 2007;
- s) Eurocodice 3 EN 1993-1--8:2005;
- t) CIRCOLARE 21 gennaio 2019, n. 7 C.S.LL.PP. Istruzioni per l'applicazione dell'«Aggiornamento delle "Norme tecniche per le costruzioni"»

3. ASPETTI GEOTECNICI

Dai dati e dalle interpretazioni delle indagini descritte nella relazione geologica si sono desunti i parametri fisici e geotecnici e il relativo modello geotecnico da utilizzare per i calcoli e le verifiche geotecniche esposti nei paragrafi successivi.

Secondo le indagini geologiche si ritiene che i terreni dell'area d'intervento siano ascrivibili alla Formazione delle Sabbie fini intervallate a peliti sottilmente stratificati (

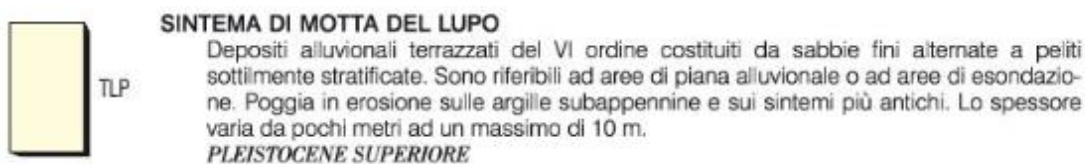
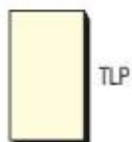
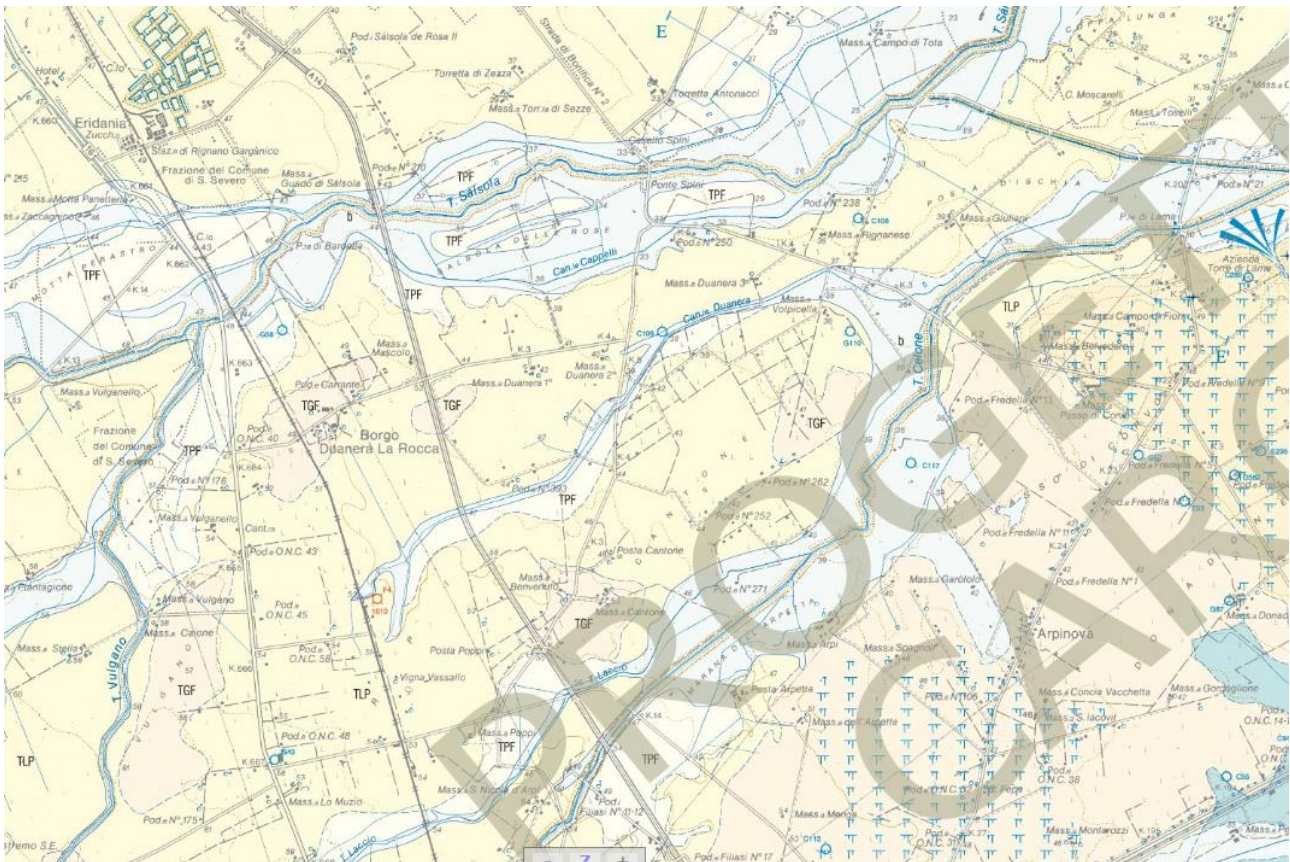


Fig. 1).

Progetto di un impianto agro-voltaico, denominato Duanera, provvisto di inseguitori mono-assiali e relative opere connesse, di potenza di immissione in rete pari a 25,025 MW (potenza di picco pari a 30,20 MWp), da ubicarsi nel Comune di Foggia (FG).


SINTEMA DI MOTTA DEL LUPO

Depositi alluvionali terrazzati del VI ordine costituiti da sabbie fini alternate a peliti sottilmente stratificate. Sono riferibili ad aree di piana alluvionale o ad aree di esondazione. Poggia in erosione sulle argille subappennine e sui sintemi più antichi. Lo spessore varia da pochi metri ad un massimo di 10 m.

PLEISTOCENE SUPERIORE

Fig. 1. Stralcio carta geologia (Relazione Geologica – Giovanna Amedei)

4. CARATTERISTICHE GEOMETRICHE DEI TRACKER

I moduli fotovoltaici previsti nel sito di progetto hanno dimensione di ingombro 2278 x 1134 x 30 cm e sono montati su strutture di sostegno ad inseguimento solare mono assiale. I moduli sono montati sulla struttura lungo il lato lungo su una sola fila, per una larghezza complessiva della superficie radiante di 2,58 mq; i moduli hanno la possibilità di ruotare nella direzione Est-Ovest in modo da ottimizzare la produzione di energia elettrica.

Le file di inseguitori (TRACKER) saranno collocate ad una interdistanza mutua pari a 5,7m. Tale distanza è stata determinata in relazione alla tipologia di integrazione proposta per l'impianto, rispettivamente oliveto, vigneto e asparagiaia. L'interdistanza scelta costituisce l'optimum tra le esigenze di massimizzare la producibilità specifica (all'aumentare della distanza si riducono gli ombreggiamenti reciproci) e l'esigenza di

Progetto di un impianto agro-voltaico, denominato Duanera, provvisto di inseguitori mono-assiali e relative opere connesse, di potenza di immissione in rete pari a 25,025 MW (potenza di picco pari a 30,20 MWp), da ubicarsi nel Comune di Foggia (FG).

massimizzare la potenza di picco installata.

In fase esecutiva l'inseguitore potrà essere sostituito da altri analoghi modelli, anche di altri costruttori concorrenti (ad es. TRJ, Zimmermann, ed altri) in relazione allo stato dell'arte della tecnologia al momento della realizzazione del Parco, con l'obiettivo di minimizzare l'impronta al suolo a parità di potenza installata.

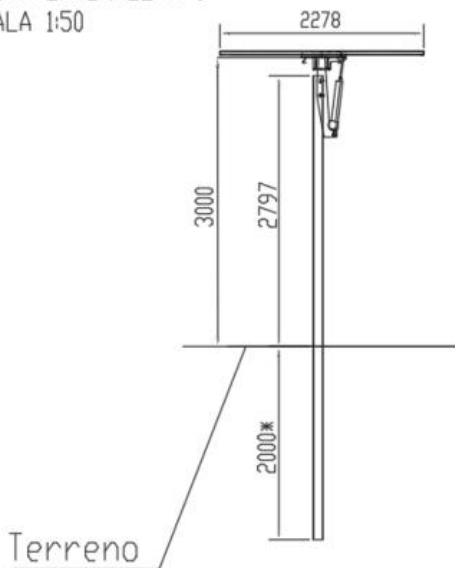
La struttura è caratterizzata dai seguenti elementi:

- Pilastrini montanti – profilo HEB con altezza totale e dell'ala di 300 mm;
- Trave principale – profilo Scatolare di sezione 150x150 mm, spessore 3 mm;
- Trave secondaria - binari fissaggio moduli - profilo a C 215x80 mm spessore 4 mm.

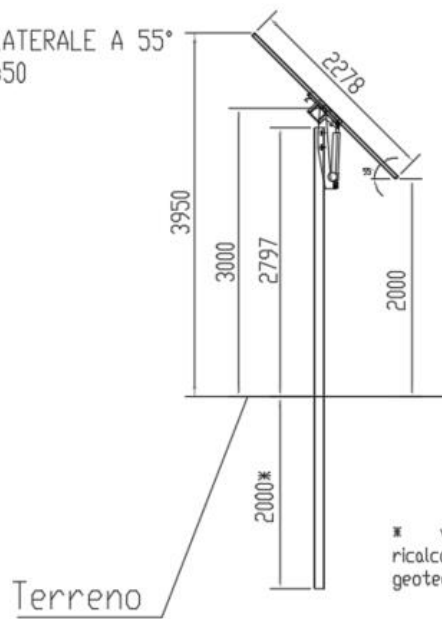
Il passo ed il numero di binari è funzione della tipologia di moduli impiegati. Gli stessi moduli fotovoltaici verranno fissati ai binari mediante appositi morsetti.

La struttura viene schematizzata e di seguito riportata:

VISTA LATERALE A 0°
SCALA 1:50



VISTA LATERALE A 55°
SCALA 1:50



* valore preliminare da ricalcolare in seguito ad analisi geotecniche e test di pull out

Fig.2. Vista frontale tipo del tracker

Progetto di un impianto agro-voltaico, denominato Duanera, provvisto di inseguitori mono-assiali e relative opere connesse, di potenza di immissione in rete pari a 25,025 MW (potenza di picco pari a 30,20 MWp), da ubicarsi nel Comune di Foggia (FG).

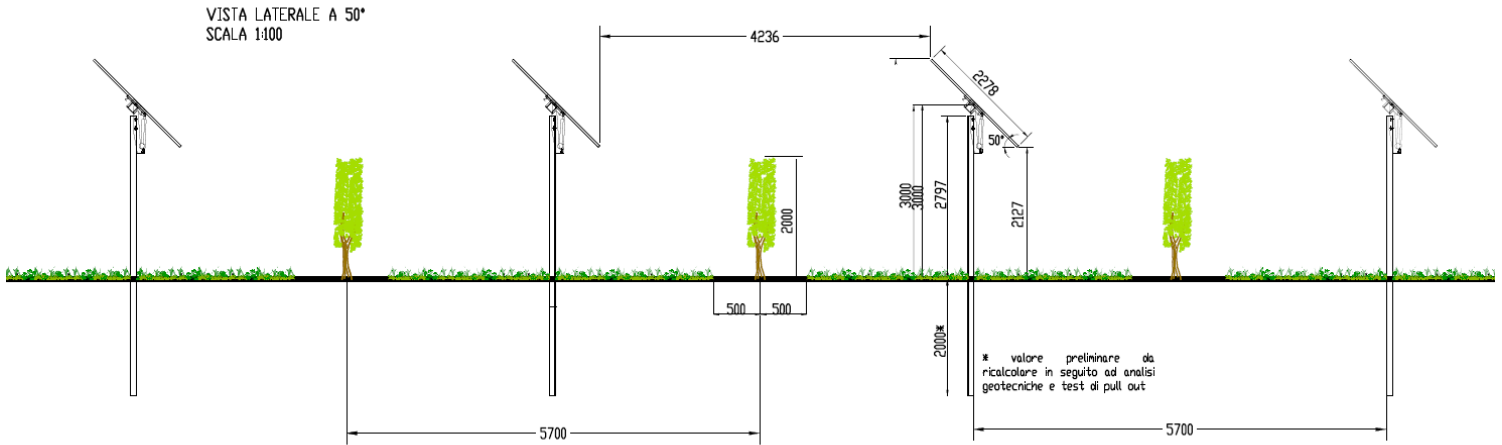


Fig.3. Sezione trasversale Tracker con oliveto superinteso

CONFIGURAZIONE MINIMA		
Interdistanza (I)	[m]	5,7
Lunghezza inseguitore (L)	[m]	31,1 (strutture da 26 moduli) e 62 (strutture da 52 moduli)
Altezza dal terreno (D)	[m]	Min 2,13 e Max 3,873

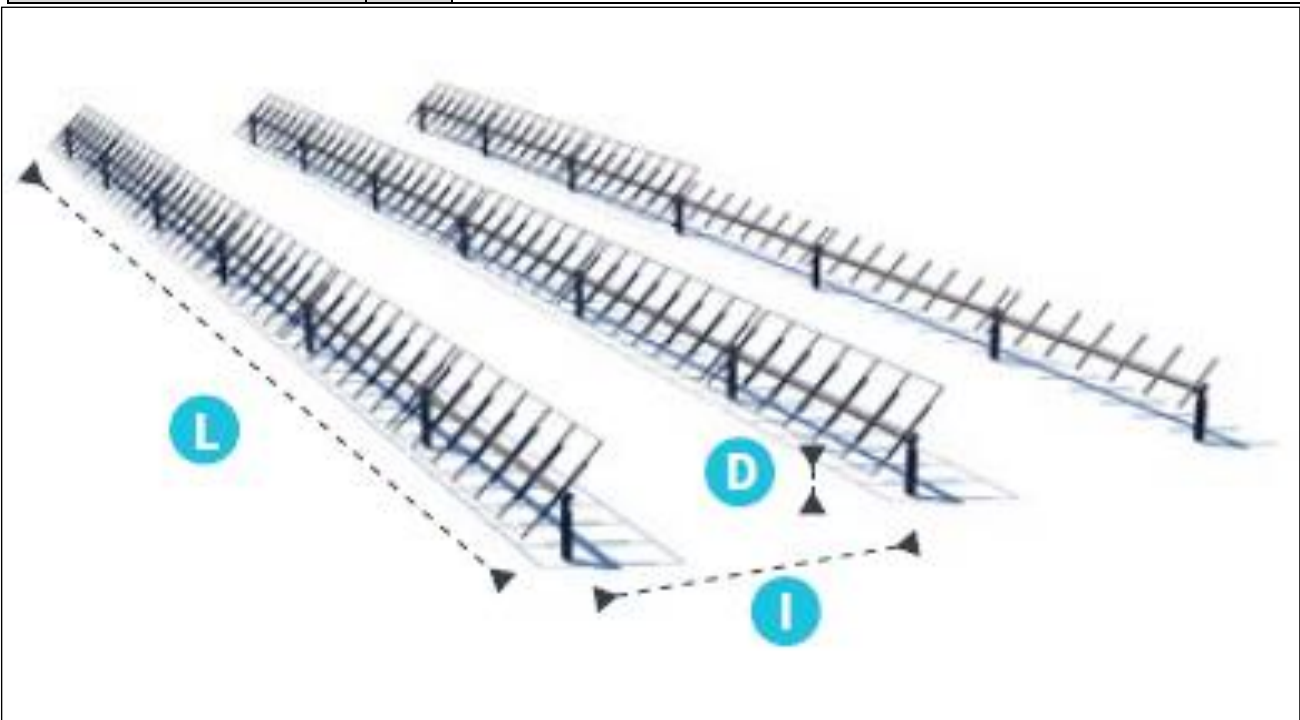


Fig.4. Configurazione schematica dei tracker

Progetto di un impianto agro-voltaico, denominato Duanera, provvisto di inseguitori mono-assiali e relative opere connesse, di potenza di immissione in rete pari a 25,025 MW (potenza di picco pari a 30,20 MWp), da ubicarsi nel Comune di Foggia (FG).

La struttura di sostegno ad inseguimento utilizzata, in relazione alle dimensioni del modulo fotovoltaico utilizzato, determina un'altezza massima da terra di 3,873 m e minima di 2,13 m che si determina ovviamente nella posizione di massima inclinazione di $\pm 55^\circ$.

La fondazione della struttura di sostegno dei pannelli fotovoltaici sarà costituita da profili in acciaio infissi nel terreno per una profondità minima di 2 m e comunque tale da garantire la stabilità della "vela" costituita dall'insieme dei pannelli e della struttura a sostegno.

Come mostrato negli elaborati di progetto, si è proceduto considerando uno "schema tipo", che presenta caratteristiche tecnico-costruttive analoghe a quelle desumibili dai prodotti commerciali più comunemente utilizzati per impianti FV simili a quello in oggetto.

Lo schema statico utilizzato per le verifiche risulta essere il seguente:

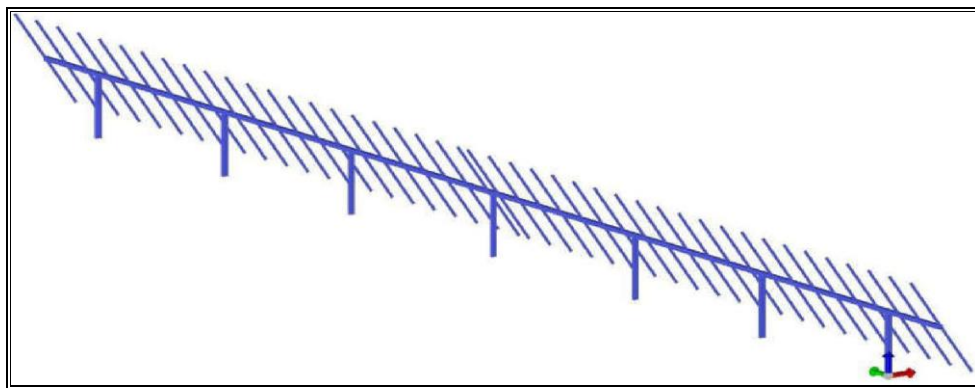


Fig.5. Schema Statico. Vista posteriore

Progetto di un impianto agro-voltaico, denominato Duanera, provvisto di inseguitori mono-assiali e relative opere connesse, di potenza di immissione in rete pari a 25,025 MW (potenza di picco pari a 30,20 MWp), da ubicarsi nel Comune di Foggia (FG).

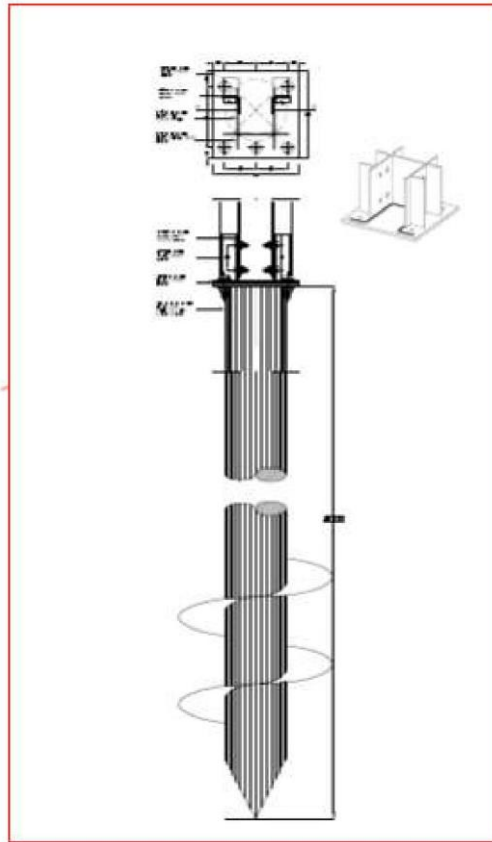


Fig.6. Particolare palo di fondazione in acciaio

5. MANUFATTI IN C.A. IN OPERA E PREFABBRICATI

Vengono di seguito descritte le caratteristiche dei manufatti facenti parte sia dell'impianto di produzione sia della sottostazione, sia della cabina di raccolta.

5.1 Caratteristiche degli inverter (skid)

Per il progetto in esame è prevista l'installazione di 7 inverter. Questi inverter sono necessari per la trasformazione da corrente continua in uscita dai moduli fotovoltaici a corrente alternata necessaria per immettere la potenza prodotta nella rete elettrica nazionale. I valori della tensione e della corrente di ingresso di queste apparecchiature devono quindi essere compatibili con quelli del campo agrovoltaico a cui è connesso, mentre i valori della tensione e della frequenza in uscita devono essere compatibili con quelli della rete del distributore alla quale vengono connessi.

Gli inverter sono posti in configurazione skid, ovvero si trovano in una struttura comprensiva anche di:

Progetto di un impianto agro-voltaico, denominato Duanera, provvisto di inseguitori mono-assiali e relative opere connesse, di potenza di immissione in rete pari a 25,025 MW (potenza di picco pari a 30,20 MWp), da ubicarsi nel Comune di Foggia (FG).

- Trasformatore BT/MT: necessario per alzare il livello di tensione nel campo agrovoltaico in modo da ridurre le perdite per effetto Joule durante il trasporto dell'energia prodotta fino alla stazione elettrica
- Quadro elettrico MT: necessario per avere la possibilità di scollegare e disalimentare uno o più parti dell'impianto elettrico in caso di guasto o manutenzione.

Verranno inoltre utilizzati anche dei combiner box, necessari per unire gli output dei vari moduli fotovoltaici connessi in ingresso all'inverter.

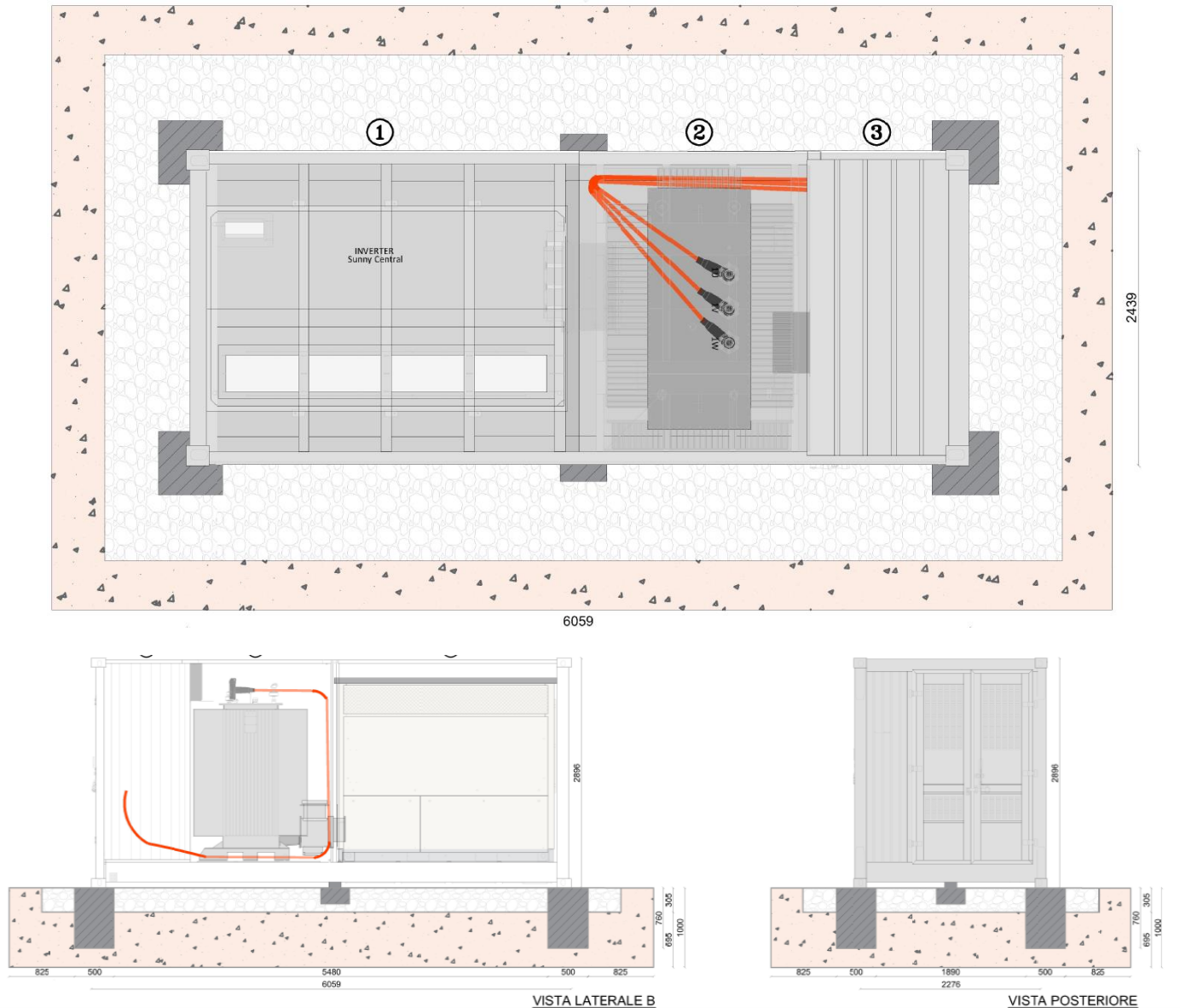
Le caratteristiche degli string combiner sono invece le seguenti:

Dati Generali	
Dimensioni (W / H / D)	<i>550 / 650 / 26 mm</i>
Peso	<i>25 kg</i>
Temperatura di utilizzo	<i>Da -25 a +60 °C</i>
Grado di protezione dell'elettronica	<i>IP54</i>
Classe di protezione (IEC 61140)	<i>2</i>
Umidità relativa	<i>Da 0% al 95%</i>
Input (DC)	
Tensione nominale	<i>1500 V</i>
N° input	<i>16</i>
Corrente nominale	<i>17.2 A</i>
Output (DC)	
Corrente nominale	<i>275 A</i>
Interruttore DC	<i>400 A / 1500 V</i>
Scaricatore di sovratensione	<i>In = 15 kA, I_{max} = 40 kA</i>
DC Output	<i>1</i>

Progetto di un impianto agro-voltaico, denominato Duanera, provvisto di inseguitori mono-assiali e relative opere connesse, di potenza di immissione in rete pari a 25,025 MW (potenza di picco pari a 30,20 MWp), da ubicarsi nel Comune di Foggia (FG).

Sezione conduttori

Da 70 a 400 mmq



Viste in Prospetto ed in sezione Cabine di Campo (G1F8PR6-Particolari skid)

6. CARATTERISTICHE DEI MATERIALI IMPIEGATI

Le caratteristiche dei materiali impiegati nei calcoli sono le seguenti:

- Acciaio B 450 C - $f_{tk}=540 \text{ N/mm}^2$, $f_{yk} 450 \text{ N/mm}^2$ ($E= 200000 \text{ N/mm}^2$; peso spec.= $78,5 \text{ kN/m}^3$; $G=84000 \text{ N/mm}^2$);
- Calcestruzzo per strutture prefabbricate – C28/35, $R_{ck} = 350 \text{ N/mm}^2$ ($E= 32308.2 \text{ N/mm}^2$; $n= 0.2$;

Progetto di un impianto agro-voltaico, denominato Duanera, provvisto di inseguitori mono-assiali e relative opere connesse, di potenza di immissione in rete pari a 25,025 MW (potenza di picco pari a 30,20 MWp), da ubicarsi nel Comune di Foggia (FG).

peso spec.= 25000 N/m³););

- Calcestruzzo per sottofondi – C12/15, Rck = 150 N/mm² (E= 27085.17 N/mm²; n= 0.2; peso spec.= 25000 N/m³););
- Calcestruzzo di regolarizzazione – C16/20, Rck = 250 N/mm² (E= 28607.90 N/mm²; n= 0.2; peso spec.= 25000 N/m³););
- Calcestruzzo per opere in c.a. – C20/25, Rck = 250 N/mm² (E= 29961.9 N/mm²; n= 0.2; peso spec.= 25000 N/m³););

7. AZIONI SULLE STRUTTURE IN C.A E PARAMETRI SIMICI DI CALCOLO

7.1 Regolarità delle strutture e fattore di struttura

Per quanto riguarda il calcolo del fattore di struttura da adottare per il calcolo si adotta un fattore di comportamento associato alle strutture intelaiate in c.a., mentre per le verifiche geotecniche delle opere di fondazioni si fa riferimento a strutture non dissipative, come previsto dalle NTC18. Trattandosi quindi di sole fondazioni superficiali e strutture interrato con pareti in c.a. (e dunque a comportamento rigido), progettate in campo elastico, il fattore di struttura q sarà automaticamente determinato e pari a 1. Le fondazioni, dovendo essere progettate per rimanere in campo elastico, non necessiteranno quindi di specifiche armature per ottenere un comportamento duttile.

Tutte le strutture sono considerate regolari così come previsto dalle regole delle NTC18.

7.2 Combinazioni delle azioni sulla costruzione

Le azioni definite come al paragrafo 2.5.1 delle NTC 2018, dovranno essere combinate in accordo a quanto definito al paragrafo 2.5.3 delle stesse NT, applicando i seguenti coefficienti di combinazione:

Categoria/Azione variabile	Y0j	Y1j	Y2j
Categoria A Ambienti ad uso residenziale	0,7	0,5	0,3
Categoria B Uffici	0,7	0,5	0,3
Categoria C Ambienti suscettibili di affollamento	0,7	0,7	0,6
Categoria D Ambienti ad uso commerciale	0,7	0,7	0,6
Categoria E Biblioteche, archivi, magazzini e ambienti ad uso industriale	1	0,9	0,8
Categoria F Rimesse e parcheggi (per autoveicoli di peso . 30 kN)	0,7	0,7	0,6

Progetto di un impianto agro-voltaico, denominato Duanera, provvisto di inseguitori mono-assiali e relative opere connesse, di potenza di immissione in rete pari a 25,025 MW (potenza di picco pari a 30,20 MWp), da ubicarsi nel Comune di Foggia (FG).

Categoria G Rimesse e parcheggi (per autoveicoli di peso > 30 kN)	0,7	0,5	0,3
Categoria H Coperture	0	0	0
Vento	0,6	0,2	0
Neve (a quota . 1000 m s.l.m.)	0,5	0,2	0
Neve (a quota > 1000 m s.l.m.)	0,7	0,5	0,2
Variazioni termiche	0,6	0,5	0

Tabella 1: Valori dei coefficienti di combinazione (Tabella 2.5.I del D.M. 2018)

I valori dei coefficienti parziali di sicurezza γ_{Gi} e γ_{Qj} da utilizzare nelle calcolazioni sono definiti nelle NTC 2018 al paragrafo 2.6.1- Tab. 2.6.I.

Le prestazioni attese nei confronti delle azioni sismiche dovranno essere verificate agli stati limite, sia di esercizio che ultimi individuati riferendosi alle prestazioni della costruzione nel suo complesso, includendo gli elementi strutturali, quelli non strutturali e gli impianti.

Gli stati limite di esercizio sono:

- *Stato Limite di Operatività (SLO);*
- *Stato Limite di Danno (SLD).*
- *Gli stati limite ultimi sono:*
- *Stato Limite di salvaguardia della Vita (SLV);*
- *Stato Limite di prevenzione del Collasso (SLC).*

Le NTC 2008 indicano che l'azione sismica sia caratterizzata da 3 componenti traslazionali, due orizzontali contrassegnate da X ed Y ed una verticale contrassegnata da Z, considerate tra di loro indipendenti, ed in funzione del tipo di analisi adottata, mediante una delle seguenti rappresentazioni:

- *accelerazione massima attesa in superficie;*
- *accelerazione massima e relativo spettro di risposta attesi in superficie;*
- *accelerogramma.*

Progetto di un impianto agro-voltaico, denominato Duanera, provvisto di inseguitori mono-assiali e relative opere connesse, di potenza di immissione in rete pari a 25,025 MW (potenza di picco pari a 30,20 MWp), da ubicarsi nel Comune di Foggia (FG).

Modello di pericolosità sismica MPS04-S1

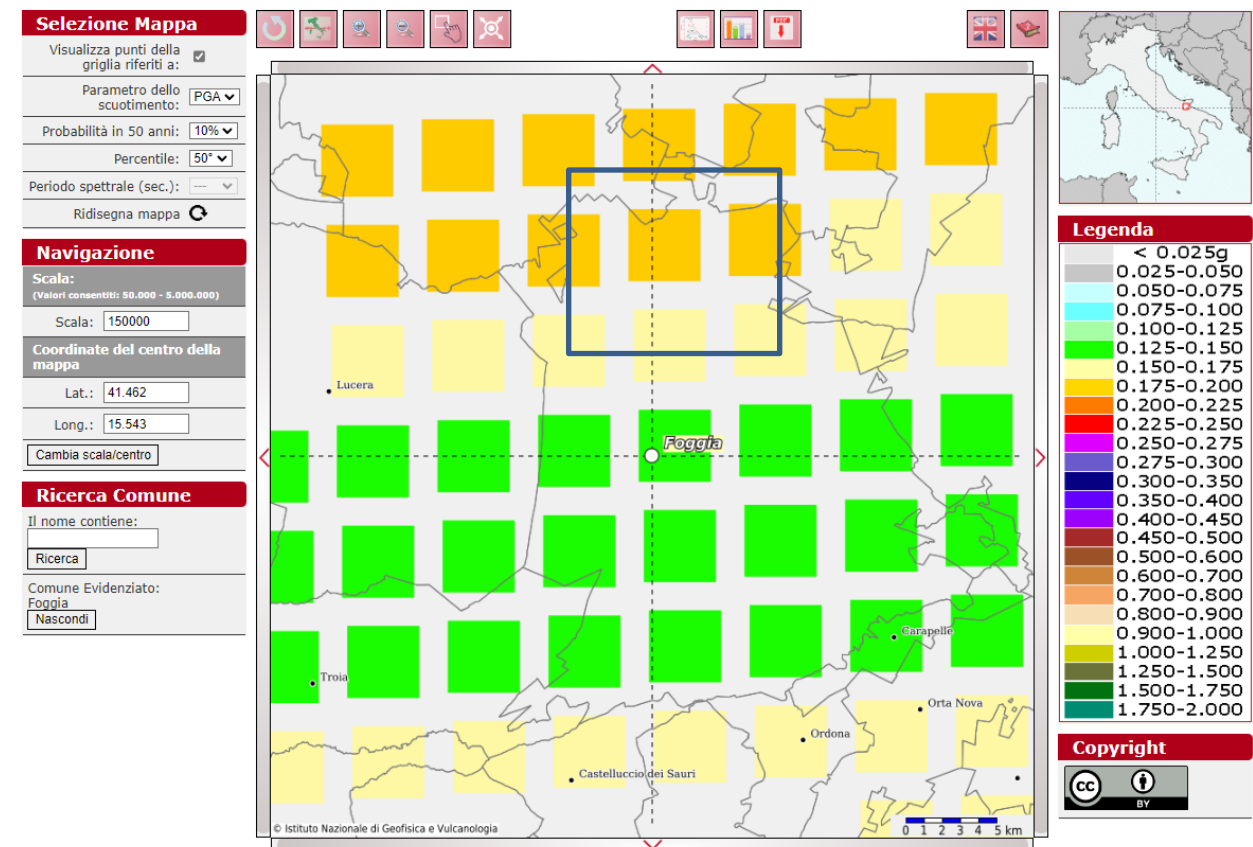


Fig.7. Parametri di pericolosità sismica del sito di intervento

L'azione in superficie dovrà essere assunta come agente su tali piani. Le due componenti ortogonali indipendenti che descrivono il moto orizzontale saranno caratterizzate dallo stesso spettro di risposta. L'accelerazione massima e lo spettro di risposta della componente verticale attesa in superficie, in assenza di documentazione potranno essere determinati sulla base dell'accelerazione massima e dello spettro di risposta delle due componenti orizzontali.

Per la definizione delle forme spettrali (spettri elastici e spettri di progetto), in conformità ai dettami del NTC 2018 § 3.2.3. vanno definiti i seguenti termini:

- Vita Nominale;
- Classe d'Uso IV
- Categoria del suolo;

Progetto di un impianto agro-voltaico, denominato Duanera, provvisto di inseguitori mono-assiali e relative opere connesse, di potenza di immissione in rete pari a 25,025 MW (potenza di picco pari a 30,20 MWp), da ubicarsi nel Comune di Foggia (FG).

- *Coefficiente Topografico;*
- *Latitudine e longitudine del sito oggetto di edificazione;*
- *Fattore di struttura q .*

Tali valori sono stati utilizzati da apposita procedura informatizzata che, a partire dalle coordinate del sito oggetto di intervento (sistema di coordinate UTM WGS 84 geografiche) fornisce i parametri di pericolosità sismica da considerare ai fini del calcolo strutturale.

Nel caso in esame l'analisi è stata svolta in prossimità della Cabina Primaria. Le verifiche delle prestazioni saranno effettuate per le azioni derivanti dalla neve, dal vento e dalla temperatura secondo quanto previsto al cap. 3 del DM 17.01.18 e della Circolare del Ministero delle Infrastrutture e dei Trasporti del 21 gennaio 2019 n. 7 per un periodo di ritorno coerente alla classe della struttura ed alla sua vita utile (vita di riferimento ≥ 100 anni, struttura Classe d'uso IV – Edifici strategici cfr DGR Puglia nr 1214/10).

Nel caso in specie trattandosi di opere di classe d'uso 4, gli stati limite da verificare ed il tipo di verifica da effettuare secondo norma sono i seguenti:

- *Stato Limite di Operatività (SLO) con controllo degli spostamenti;*
- *Stato Limite di Danno (SLD) con controllo degli spostamenti;*
- *Stato Limite di Danno (SLD) con controllo degli spostamenti + verifiche di resistenza;*
- *Stato Limite di Salvaguardia (SLV) con verifica di resistenza.*

7.3 Destinazione d'uso e sovraccarichi variabili dovuto alle azioni antropiche

Per la determinazione dell'entità e della distribuzione spaziale e temporale dei sovraccarichi variabili si dovrà fare riferimento alla tabella del D.M. 14.01.2008 in funzione della destinazione d'uso.

I carichi variabili comprendono i carichi legati alla destinazione d'uso dell'opera; i modelli di tali azioni possono essere costituiti da:

- *carichi verticali uniformemente distribuiti q_k [kN/m²]*
- *carichi verticali concentrati Q_k [kN]*
- *carichi orizzontali lineari H_k [kN/m]*

Progetto di un impianto agro-voltaico, denominato Duanera, provvisto di inseguitori mono-assiali e relative opere connesse, di potenza di immissione in rete pari a 25,025 MW (potenza di picco pari a 30,20 MWp), da ubicarsi nel Comune di Foggia (FG).

Cat.	Ambienti	q_k [kN/m ²]	Q_k [kN]	H_k [kN/m]
A	Ambienti ad uso residenziale. Sono compresi in questa categoria i locali di abitazione e relativi servizi, gli alberghi. (ad esclusione delle aree suscettibili di affollamento)	2,00	2,00	1,00
B	Uffici. Cat. B1 Uffici non aperti al pubblico Cat. B2 Uffici aperti al pubblico	2,00 3,00	2,00 2,00	1,00 1,00
C	Ambienti suscettibili di affollamento Cat. C1 Ospedali, ristoranti, caffè, banche, scuole Cat. C2 Balconi, ballatoi e scale comuni, sale convegni, cinema, teatri, chiese, tribune con posti fissi Cat. C3 Ambienti privi di ostacoli per il libero movimento delle persone, quali musei, sale per esposizioni, stazioni ferroviarie, sale da ballo, palestre, tribune libere, edifici per eventi pubblici, sale da concerto, palazzetti per lo sport e relative tribune	3,00 4,00 5,00	2,00 4,00 5,00	1,00 2,00 3,00
D	Ambienti ad uso commerciale. Cat. D1 Negozi Cat. D2 Centri commerciali, mercati, grandi magazzini, librerie...	4,00 5,00	4,00 5,00	2,00 2,00
E	Biblioteche, archivi, magazzini e ambienti ad uso industriale. Cat. E1 Biblioteche, archivi, magazzini, depositi, laboratori manifatturieri Cat. E2 Ambienti ad uso industriale, da valutarsi caso per caso	$\geq 6,00$ —	6,00 —	1,00* —
F-G	Rimesse e parcheggi. Cat. F Rimesse e parcheggi per il transito di automezzi di peso a pieno carico fino a 30 kN Cat. G Rimesse e parcheggi per transito di automezzi di peso a pieno carico superiore a 30 kN: da valutarsi caso per caso	2,50 —	2 x 10,00 —	1,00** —
H	Coperture e sottotetti Cat. H1 Coperture e sottotetti accessibili per sola manutenzione Cat. H2 Coperture praticabili Cat. H3 Coperture speciali (impianti, eliporti, altri) da valutarsi caso per caso	0,50 — —	1,20 — —	1,00 secondo categoria di appartenenza —
* non comprende le azioni orizzontali eventualmente esercitate dai materiali immagazzinati				
** per i soli parapetti o partizioni nelle zone pedonali. Le azioni sulle barriere esercitate dagli automezzi dovranno essere valutate caso per caso				

Tabella 2: Valori dei carichi di esercizio per le diverse categorie di edifici (Tabella 3.1.II del D.M. 2008)

I valori nominali e/o caratteristici q_k , Q_k ed H_k di riferimento sono riportati nella Tab. 3.1.II. delle NTC 2018. In presenza di carichi verticali concentrati Q_k essi sono stati applicati su impronte di carico appropriate all'utilizzo ed alla forma dell'orizzontamento, in generale con forma dell'impronta di carico quadrata pari a 50 x 50 mm.

7.4 Modello Di Calcolo

I modelli di calcolo da utilizzare saranno quelli esplicitamente richiamati nel D.M. 17.01.2018 ed in particolare:

- *analisi elastica lineare per il calcolo delle sollecitazioni derivanti da carichi statici;*

Progetto di un impianto agro-voltaico, denominato Duanera, provvisto di inseguitori mono-assiali e relative opere connesse, di potenza di immissione in rete pari a 25,025 MW (potenza di picco pari a 30,20 MWp), da ubicarsi nel Comune di Foggia (FG).

- *analisi dinamica modale con spettri di progetto per il calcolo delle sollecitazioni di progetto dovute all'azione sismica;*
- *analisi degli effetti del 2° ordine quando significativi;*
- *verifiche sezionali agli s.l.u. per le sezioni in c.a. utilizzando il legame parabola rettangolo per il calcestruzzo ed il legame elastoplastico inelastico a duttilità limitata per l'acciaio.*

Per quanto riguarda le azioni sismiche ed in particolare per la determinazione del fattore di struttura, dei dettagli costruttivi e le prestazioni sia agli SLU che allo SLD si farà riferimento al D.M. 17.01.18 e alla circolare del Ministero delle Infrastrutture e dei Trasporti del 21 gennaio 2019, n. 67 che è stata utilizzata come norma di dettaglio.

7.5 Durabilità

Per garantire la durabilità delle strutture saranno prese in considerazione opportuni stati limite di esercizio (SLE) in funzione dell'uso e dell'ambiente in cui le strutture dovranno essere utilizzate limitando sia gli stati tensionali che, nel caso delle opere in calcestruzzo, l'ampiezza delle fessure.

Inoltre per garantire la durabilità, così come tutte le prestazioni attese, sarà posta adeguata cura nelle previsioni sia nell'esecuzione che nella manutenzione e gestione della struttura prevedendo tutti gli accorgimenti utili alla conservazione delle caratteristiche fisiche e dinamiche dei materiali e delle strutture. La qualità dei materiali e le dimensioni degli elementi sono stati previsti in coerenza con tali obiettivi.

7.6 Misura Della Sicurezza

Il metodo di verifica della sicurezza adottato sarà quello degli Stati Limite (SL) prevedendo due insiemi di verifiche rispettivamente per gli stati limite ultimi SLU e gli stati limite di esercizio SLE.

La sicurezza sarà quindi garantita progettando i vari elementi resistenti in modo da assicurare che la loro resistenza di calcolo sia sempre maggiore della corrispondente domanda in termini di azioni di calcolo.

7.7 Schematizzazione Della Struttura

La struttura sarà modellata con il metodo degli elementi finiti utilizzando vari elementi di libreria specializzati per schematizzare i vari elementi strutturali.

In particolare le travi ed i pilastri saranno schematizzate con elementi trave a due nodi deformabili assialmente, a flessione e taglio utilizzando funzioni di forma cubiche di Hermite, modello finito che ha la caratteristica di fornire la soluzione esatta in campo elastico lineare per cui non necessita di ulteriore suddivisioni interne degli elementi strutturali.

Gli elementi finiti a due nodi possono essere utilizzati in analisi di tipo non lineare potendo modellare non linearità sia di tipo geometrico che meccanico con i seguenti modelli:

Progetto di un impianto agro-voltaico, denominato Duanera, provvisto di inseguitori mono-assiali e relative opere connesse, di potenza di immissione in rete pari a 25,025 MW (potenza di picco pari a 30,20 MWp), da ubicarsi nel Comune di Foggia (FG).

Matrice geometrica per gli effetti del II° ordine;

Non linearità meccanica per comportamento assiale solo resistente a trazione o compressione:

Non linearità meccanica di tipo elasto-plastica con modellazione a plasticità concentrata e duttilità limitata con controllo della capacità rotazionale ultima delle cerniere plastiche.

Per gli elementi strutturali bidimensionali (pareti a taglio, setti, nuclei irrigidenti, piastre o superfici generiche) si utilizzerà un modello finito a 3 o 4 nodi di tipo shell che modella sia il comportamento membranale (lastra) che flessionale (piastra). Tale elemento finito di tipo isoparametrico sarà modellato con funzioni di forma di tipo polinomiale che rappresentano una soluzione congruente ma non esatta nello spirito del metodo FEM.

Il metodo è efficiente per il calcolo degli spostamenti nodali ed è sempre rispettoso dell'equilibrio a livello nodale con le azioni esterne. Le verifiche saranno effettuate sia direttamente sullo stato tensionale ottenuto, per le azioni di tipo statico e di esercizio. Per le azioni dovute al sisma (ed in genere per le azioni che provocano elevata domanda di deformazione anelastica), le verifiche saranno effettuate sulle risultanti (forze e momenti) agenti globalmente su una sezione dell'oggetto strutturale (muro a taglio, trave accoppiamento, etc..).

Nel modello si terranno in conto i disassamenti tra i vari elementi strutturali schematizzandoli come vincoli cinematici rigidi.

La presenza di orizzontamenti sarà tenuta in conto o con vincoli cinematici rigidi o con modellazione della soletta con elementi SHELL.

L'analisi delle sollecitazioni sarà condotta in fase elastica lineare tenendo conto eventualmente degli effetti del secondo ordine.

Le sollecitazioni derivanti dalle azioni sismiche saranno ottenute sia con da analisi statiche equivalenti che con da analisi dinamiche modali. I vincoli tra i vari elementi strutturali e con il terreno saranno modellati in maniera congruente al reale comportamento strutturale.

Il modello di calcolo terrà conto dell'interazione suolo-struttura schematizzando le fondazioni superficiali (con elementi plinto, trave o piastra) su suolo elastico alla Winkler.

Per le verifiche sezionali saranno utilizzati i seguenti legami:

Progetto di un impianto agro-voltaico, denominato Duanera, provvisto di inseguitori mono-assiali e relative opere connesse, di potenza di immissione in rete pari a 25,025 MW (potenza di picco pari a 30,20 MWp), da ubicarsi nel Comune di Foggia (FG).

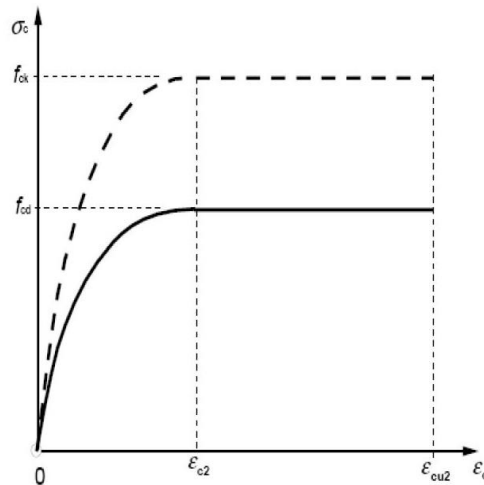


Fig. 8. Legame costitutivo di progetto del calcestruzzo

Il valore ϵ_{cu2} nel caso di analisi non lineari è stato valutato in funzione dell'effettivo grado di confinamento esercitato dalle staffe sul nucleo di calcestruzzo.

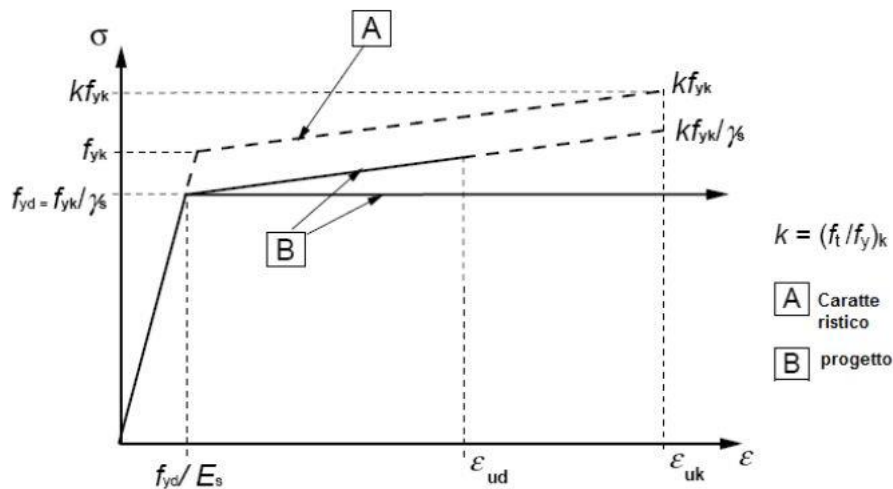


Fig. 9. Legame costitutivo di progetto dell'acciaio per c.a.

Il modello di calcolo da utilizzare è rappresentativo della realtà fisica per la configurazione finale anche in funzione delle modalità e sequenze costruttive.

7.8 Combinazione Di Calcolo

Le combinazioni di calcolo da considerare sono quelle previste dal D.M. 17.01.2018 per i vari stati limite e per le varie azioni e tipologie costruttive.

In particolare, ai fini delle verifiche degli stati limite, sono state definite le seguenti combinazioni delle azioni (Cfr. al § 2.5.3 NTC 2018):

Progetto di un impianto agro-voltaico, denominato Duanera, provvisto di inseguitori mono-assiali e relative opere connesse, di potenza di immissione in rete pari a 25,025 MW (potenza di picco pari a 30,20 MWp), da ubicarsi nel Comune di Foggia (FG).

- *Combinazione fondamentale, generalmente impiegata per gli stati limite ultimi (SLU) (2.5.1);*
- *Combinazione caratteristica (rara), generalmente impiegata per gli stati limite di esercizio (SLE) irreversibili, da utilizzarsi nelle verifiche alle tensioni ammissibili di cui al § 2.7(2.5.2);*
- *Combinazione frequente, generalmente impiegata per gli stati limite di esercizio (SLE) reversibili (2.5.3);*
- *Combinazione quasi permanente (SLE), generalmente impiegata per gli effetti a lungo termine(2.5.4);*
- *Combinazione sismica, impiegata per gli stati limite ultimi e di esercizio connessi all'azione sismica E (v. § 3.2 form. 2.5.5);*
- *Combinazione eccezionale, impiegata per gli stati limite ultimi connessi alle azioni eccezionali di progetto Ad (v. § 3.6 form. 2.5.6).*

Nelle combinazioni per SLE, saranno omessi i carichi Q_{kj} dal momento che hanno un contributo favorevole ai fini delle verifiche e, se del caso, i carichi G_2 .

Altre combinazioni saranno considerate in funzione di specifici aspetti (p. es. fatica, ecc.), ove nelle formule il simbolo “+” è da intendersi “combinato con”.

I valori dei coefficienti parziali di sicurezza γ_{Gi} e γ_{Qj} sono stati desunti dalle norme (Cfr. § 2.6.1, Tab. 2.6.I).

Per le combinazioni sismiche:

Nel caso delle costruzioni civili e industriali le verifiche agli stati limite ultimi o di esercizio devono essere effettuate per la combinazione dell'azione sismica con le altre azioni (Cfr. § 2.5.3 form. 3.2.16 delle NTC 2008)

Gli effetti dell'azione sismica saranno valutati tenendo conto delle masse associate ai carichi gravitazionali (form. 3.2.17).

I valori dei coefficienti γ_2 j saranno desunti dalle norme (Cfr. Tabella 2.5.I) La struttura sarà progettata così che il degrado nel corso della sua vita nominale, con manutenzione ordinaria, non pregiudichi le sue prestazioni in termini di resistenza, stabilità e funzionalità, portandole al di sotto del livello richiesto dalle presenti norme.

Le misure di protezione contro l'eccessivo degrado sono stabilite con riferimento alle previste condizioni ambientali.

La protezione contro l'eccessivo degrado si otterrà con un'opportuna scelta dei dettagli, dei materiali e delle dimensioni strutturali, con l'utilizzo, ove necessario, dell'applicazione di sostanze o ricoprimenti protettivi, nonché con l'adozione di altre misure di protezione attiva o passiva.

Progetto di un impianto agro-voltaico, denominato Duanera, provvisto di inseguitori mono-assiali e relative opere connesse, di potenza di immissione in rete pari a 25,025 MW (potenza di picco pari a 30,20 MWp), da ubicarsi nel Comune di Foggia (FG).

Per le azioni eccezionali, che si presentano in occasione di eventi quali incendi, esplosioni ed urti, ove richiesto da specifiche esigenze di destinazione d'uso, saranno considerate nella progettazione, con calcolo e verifica delle suddette azioni, determinate sulla base delle indicazioni di cui al § 3.6.1 delle NTC.

7.9 Azioni Agenti Sulle Fondazioni

Per la valutazione preliminare delle azioni di progetto (Ed) in fondazione si sono utilizzate due combinazioni delle azioni:

Per quanto riguarda le azioni verticali:

- *SLU (combinazione fondamentale):*
- $Ed = \gamma G1 * G1$
- *SLU + SISMA (combinazione sismica) SLV:*
- $Ed = E + G1 = G1 * kv + G1$

Per quanto riguarda le azioni orizzontali:

- *combinazione sismica SLV (taglio sismico)*
- $Ed = G1 * khi$

In cui:

- *Ed azione di progetto*
- *G1 peso proprio degli elementi strutturali*
- *$\gamma G1$ coefficiente parziale di sicurezza (A1, A2 - punto 2.6.1 delle NTC 2018 e tab.2.6.1)*
- *E azione sismica*
- *Kv ordinata dello spettro di progetto delle componenti verticali in corrispondenza del periodo fondamentale T1*
- *Khi ordinata dello spettro di progetto delle componenti orizzontali in corrispondenza del periodo fondamentale T1*

Considerando solo le fondazioni principali e di dimensioni rilevanti si ottiene la tabella 6 riportante i carichi unitari sulle fondazioni.

Per la combinazione delle azioni Ed di cui sopra si è utilizzato l'Approccio normativo 2 (punto 2.6.1 delle NTC 2008):

$$(A1+M1+R3) - (STR + GEO)$$

Con:

- *A = Azioni γF (oppure γE oppure γG)*
- *M = resistenza dei materiali (terreno) γM*

Progetto di un impianto agro-voltaico, denominato Duanera, provvisto di inseguitori mono-assiali e relative opere connesse, di potenza di immissione in rete pari a 25,025 MW (potenza di picco pari a 30,20 MWp), da ubicarsi nel Comune di Foggia (FG).

- $R = \text{resistenza globale del sistema } \gamma R$

Inoltre per le azioni sismiche E, dagli spettri di progetto dell'allegato 2 si sono calcolati i valori di kv e khi con le seguenti assunzioni:

- *Fattore di struttura* $q = 1$
- *Altezza media delle strutture* = 3 m
- *Periodo fondamentale* $T1=0,17s$

7.10 Parametri sismici

Sotto l'aspetto sismo-tettonico, anche se l'area non è direttamente interessata da lineamenti strutturali visibili sulla superficie del suolo, ha subito influenze distruttive durante gli eventi sismici passati, i cui epicentri si sono localizzati in aree limitrofe. Essa infatti risente della vicinanza delle strutture sismo-genetiche dell'Appennino Dauno, i cui effetti hanno avuto ripercussioni sulla stabilità del territorio sin da tempi storici.

Oltre al terremoto dell'Irpinia (1980) l'ultimo evento significativo, in ordine temporale, è stato il terremoto del 31/10/2002, con epicentro in Molise; la magnitudo di questo evento è stata stimata pari a 5.4 della scala Richter, un valore che comporta effetti fino al grado VIII della scala Mercalli.

Ad ogni modo, il territorio del **Comune di Foggia**, secondo la classificazione sismica (O.P.C.M. 20.03.2003 e succ. mod. ed integr.) ricade in Zona 2, come di seguito riportato:

Codice ISTAT 2001	Classificazione 2003
071100	Zona 2

Dove: PGA (g)=accelerazione orizzontale di picco del terreno (estimatore dello scuotimento alle alte frequenze), valore atteso con una probabilità di superamento del 10% in 50 anni (periodo di ritorno di 457 anni); I=intensità macrosismica (MCS) valore di intensità MCS atteso con una probabilità di superamento del 10% in 50 anni (periodo di ritorno di 475 anni); $g=981 \text{ cm/sec}^2$ (accelerazione di gravità).

Inoltre con il metodo MASW (basato sulla relazione geologica) è stata parametrizzata la velocità delle onde Vs in profondità ricavando un "modello di velocità del sottosuolo" correlabile con i diversi litotipi presenti in profondità.

In base al valore della VS30 si ottiene che il terreno di diretto interesse dell'impianto rientra nella categoria "D".

Progetto di un impianto agro-voltaico, denominato Duanera, provvisto di inseguitori mono-assiali e relative opere connesse, di potenza di immissione in rete pari a 25,025 MW (potenza di picco pari a 30,20 MWp), da ubicarsi nel Comune di Foggia (FG).

Tabella 3.2.II – Categorie di sottosuolo

Categoria	Descrizione
A	Ammassi rocciosi affioranti o terreni molto rigidi caratterizzati da valori di $V_{s,30}$ superiori a 800 m/s, eventualmente comprendenti in superficie uno strato di alterazione, con spessore massimo pari a 3 m.
B	Rocce tenere e depositi di terreni a grana grossa molto addensati o terreni a grana fina molto consistenti con spessori superiori a 30 m, caratterizzati da un graduale miglioramento delle proprietà meccaniche con la profondità e da valori di $V_{s,30}$ compresi tra 360 m/s e 800 m/s (ovvero $N_{SPT,30} > 50$ nei terreni a grana grossa e $c_{u,30} > 250$ kPa nei terreni a grana fina).
C	Depositi di terreni a grana grossa mediamente addensati o terreni a grana fina mediamente consistenti con spessori superiori a 30 m, caratterizzati da un graduale miglioramento delle proprietà meccaniche con la profondità e da valori di $V_{s,30}$ compresi tra 180 m/s e 360 m/s (ovvero $15 < N_{SPT,30} < 50$ nei terreni a grana grossa e $70 < c_{u,30} < 250$ kPa nei terreni a grana fina).
D	Depositi di terreni a grana grossa scarsamente addensati o di terreni a grana fina scarsamente consistenti, con spessori superiori a 30 m, caratterizzati da un graduale miglioramento delle proprietà meccaniche con la profondità e da valori di $V_{s,30}$ inferiori a 180 m/s (ovvero $N_{SPT,30} < 15$ nei terreni a grana grossa e $c_{u,30} < 70$ kPa nei terreni a grana fina).
E	Terreni dei sottosuoli di tipo C o D per spessore non superiore a 20 m, posti sul substrato di riferimento (con $V_s > 800$ m/s).

Fig. 10. Classificazione sismica terreno

8. ANALISI DEI CARICHI STRUTTURE - TRACKER

Un'accurata valutazione dei carichi è un requisito imprescindibile di una corretta progettazione, in particolare per le costruzioni realizzate in zona sismica.

Essa, infatti, è fondamentale ai fini della determinazione delle forze sismiche, in quanto incide sulla valutazione delle masse e dei periodi propri della struttura dai quali dipendono i valori delle accelerazioni (ordinate degli spettri di progetto).

La valutazione dei carichi e dei sovraccarichi è stata effettuata in accordo con le disposizioni del Decreto Ministero Infrastrutture Trasporti 17 gennaio 2018 ("Norme tecniche per le Costruzioni").

La valutazione dei carichi permanenti è effettuata sulle dimensioni definitive. Le analisi effettuate, corredate da dettagliate descrizioni, verranno riportate nei tabulati di calcolo nella relativa sezione.

8.1 Localizzazione dell'intervento

Provincia: FOGGIA

Regione: PUGLIA

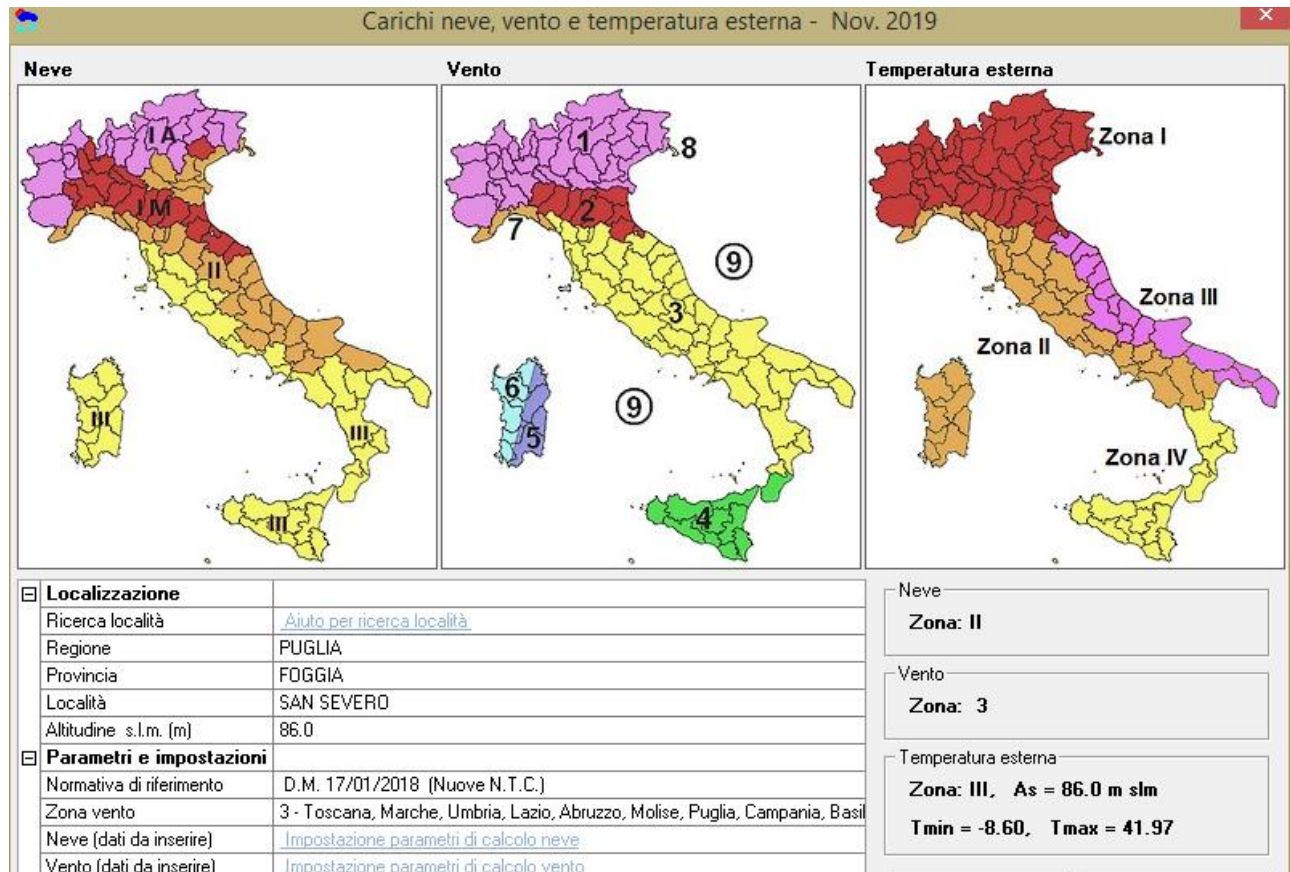
Coordinate GPS:

Latitudine: 41°33'47.97"N (coordinate impianto di Foggia che occorre calcolare I parametri di vento e neve)

Progetto di un impianto agro-voltaico, denominato Duanera, provvisto di inseguitori mono-assiali e relative opere connesse, di potenza di immissione in rete pari a 25,025 MW (potenza di picco pari a 30,20 MWp), da ubicarsi nel Comune di Foggia (FG).

Longitudine: 15°32'29.39"E

Altitudine s.l.m.: 42 m



8.2 Calcolo delle azioni della neve

Il carico provocato dalla neve sui pannelli sarà valutato mediante la seguente espressione:

$$q_s = \%i * q_{sk} * CE * Ct$$

dove:

- q_s è il carico neve sulla copertura
- $\%i$ è il coefficiente di forma della copertura
- q_{sk} è il valore caratteristico di riferimento del carico neve al suolo [kN/mq] per un periodo di ritorno
- di 50 anni
- CE è il coefficiente di esposizione
- Ct è il coefficiente termico

Progetto di un impianto agro-voltaico, denominato Duanera, provvisto di inseguitori mono-assiali e relative opere connesse, di potenza di immissione in rete pari a 25,025 MW (potenza di picco pari a 30,20 MWp), da ubicarsi nel Comune di Foggia (FG).

Si ipotizza che il carico neve agisca in direzione verticale e lo si riferisce alla proiezione orizzontale della superficie della copertura. Per la determinazione del carico neve si fa riferimento ai seguenti valori, indicativi per la zona nella quale ricade l'area di progetto che nel caso specifico è uguale a III

Ce (coeff. di esposizione al vento) = 1,00

Valore caratteristico del carico al suolo = $q_{sk} C_e = 100 \text{ da N/m}^2$

Copertura ad una falda:

Angolo di inclinazione della falda $\alpha = 30,0$

$\mu_1 = 0,80 \Rightarrow Q_1 = 80 \text{ da N/m}^2$

8.3 Calcolo delle azioni del vento

Il vento, la cui direzione si considera generalmente orizzontale, esercita sulle costruzioni azioni che variano nel tempo e nello spazio provocando effetti dinamici. Per le costruzioni tali azioni sono generalmente ricondotte alle azioni statiche equivalenti descritte in seguito.

Zona vento = 3

Velocità base della zona, $V_{b.o} = 27 \text{ m/s}$ (Tab. 3.3.I)

Altitudine base della zona, $A_o = 500 \text{ m}$ (Tab. 3.3.I)

Altitudine del sito, $A_s = 47 \text{ m}$

Velocità di riferimento, $V_b = 27,00 \text{ m/s}$ ($V_b = V_{b.o}$ per $A_s \leq A_o$)

Periodo di ritorno, $T_r = 50 \text{ anni}$

$C_r = 1$ per $T_r = 50 \text{ anni}$

Velocità riferita al periodo di ritorno di progetto, $V_r = V_b C_r = 27,00 \text{ m/s}$

Classe di rugosità del terreno: D (Aree prive di ostacoli o con al più rari ostacoli isolati (aperta campagna, aeroporti, aree agricole, pascoli, zone paludose o sabbiose, superfici innevate o ghiacciate, ...))

Categoria esposizione: (Entroterra fino a 30 km dal mare) tipo II

($K_r = 0,19$; $Z_o = 0,05 \text{ m}$; $Z_{min} = 4 \text{ m}$)

Pressione cinetica di riferimento, $q_b = 46 \text{ daN/m}^2$

Coefficiente di forma, $C_p = 2,24$

Coefficiente dinamico, $C_d = 1,00$

Coefficiente di esposizione, $C_e = 1,780$

Coefficiente di esposizione topografica, $C_t = 1,00$

Altezza dell'edificio, $h = 10 \text{ m}$

Pressione del vento, $p = q_b C_e C_p C_d = 81 \text{ daN/m}^2$

Progetto di un impianto agro-voltaico, denominato Duanera, provvisto di inseguitori mono-assiali e relative opere connesse, di potenza di immissione in rete pari a 25,025 MW (potenza di picco pari a 30,20 MWp), da ubicarsi nel Comune di Foggia (FG).

TEMPERATURA DELL'ARIA ESTERNA

Zona: III

T min = -8.48° [NTC 3.5.5]

8.4 Valutazione dell'azione sismica

L'azione sismica sulle costruzioni è valutata a partire dalla "pericolosità sismica di base", in condizioni ideali di sito di riferimento rigido con superficie topografica orizzontale.

Allo stato attuale, la pericolosità sismica su reticolo di riferimento nell'intervallo di riferimento è fornita dai dati pubblicati sul sito <http://esse1.mi.ingv.it/>. Per punti non coincidenti con il reticolo di riferimento e periodi di ritorno non contemplati direttamente si opera come indicato nell'allegato alle NTC (rispettivamente media pesata e interpolazione).

L'azione sismica viene definita in relazione ad un periodo di riferimento V_r che si ricava, per ciascun tipo di costruzione, moltiplicandone la vita nominale per il coefficiente d'uso (vedi tabella Parametri della struttura). Fissato il periodo di riferimento V_r e la probabilità di superamento P_{ver} associata a ciascuno degli stati limite considerati, si ottiene il periodo di ritorno T_r e i relativi parametri di pericolosità sismica (vedi tabella successiva):

Categoria sottosuolo: D

Classe d'uso IV

Progetto di un impianto agro-voltaico, denominato Duanera, provvisto di inseguitori mono-assiali e relative opere connesse, di potenza di immissione in rete pari a 25,025 MW (potenza di picco pari a 30,20 MWp), da ubicarsi nel Comune di Foggia (FG).

Parametri e punti dello spettro di risposta orizzontale per lo stato limite SLV
Parametri indipendenti

STATO LIMITE	SLV
a_g	0.268 g
F_{o_1}	2.440
T_C	0.344 s
S_S	1.418
C_C	2.130
S_T	1.000
q	1.200

Parametri dipendenti

S	1.418
η	0.833
T_B	0.245 s
T_C	0.734 s
T_D	2.673 s

Espressioni dei parametri dipendenti

$$S = S_S \cdot S_T \quad (\text{NTC-08 Eq. 3.2.5})$$

$$\eta = \sqrt{10/(5+\xi)} \geq 0,55; \eta = 1/q \quad (\text{NTC-08 Eq. 3.2.6; §. 3.2.3.5})$$

$$T_B = T_C / 3 \quad (\text{NTC-07 Eq. 3.2.8})$$

$$T_C = C_C \cdot T_C^* \quad (\text{NTC-07 Eq. 3.2.7})$$

$$T_D = 4,0 \cdot a_g / g + 1,6 \quad (\text{NTC-07 Eq. 3.2.9})$$

Espressioni dello spettro di risposta (NTC-08 Eq. 3.2.4)

$$0 \leq T < T_B \quad S_s(T) = a_g \cdot S \cdot \eta \cdot F_o \cdot \left[\frac{T}{T_B} + \frac{1}{\eta \cdot F_o} \left(1 - \frac{T}{T_B} \right) \right]$$

$$T_B \leq T < T_C \quad S_s(T) = a_g \cdot S \cdot \eta \cdot F_o$$

$$T_C \leq T < T_D \quad S_s(T) = a_g \cdot S \cdot \eta \cdot F_o \cdot \left(\frac{T_C}{T} \right)$$

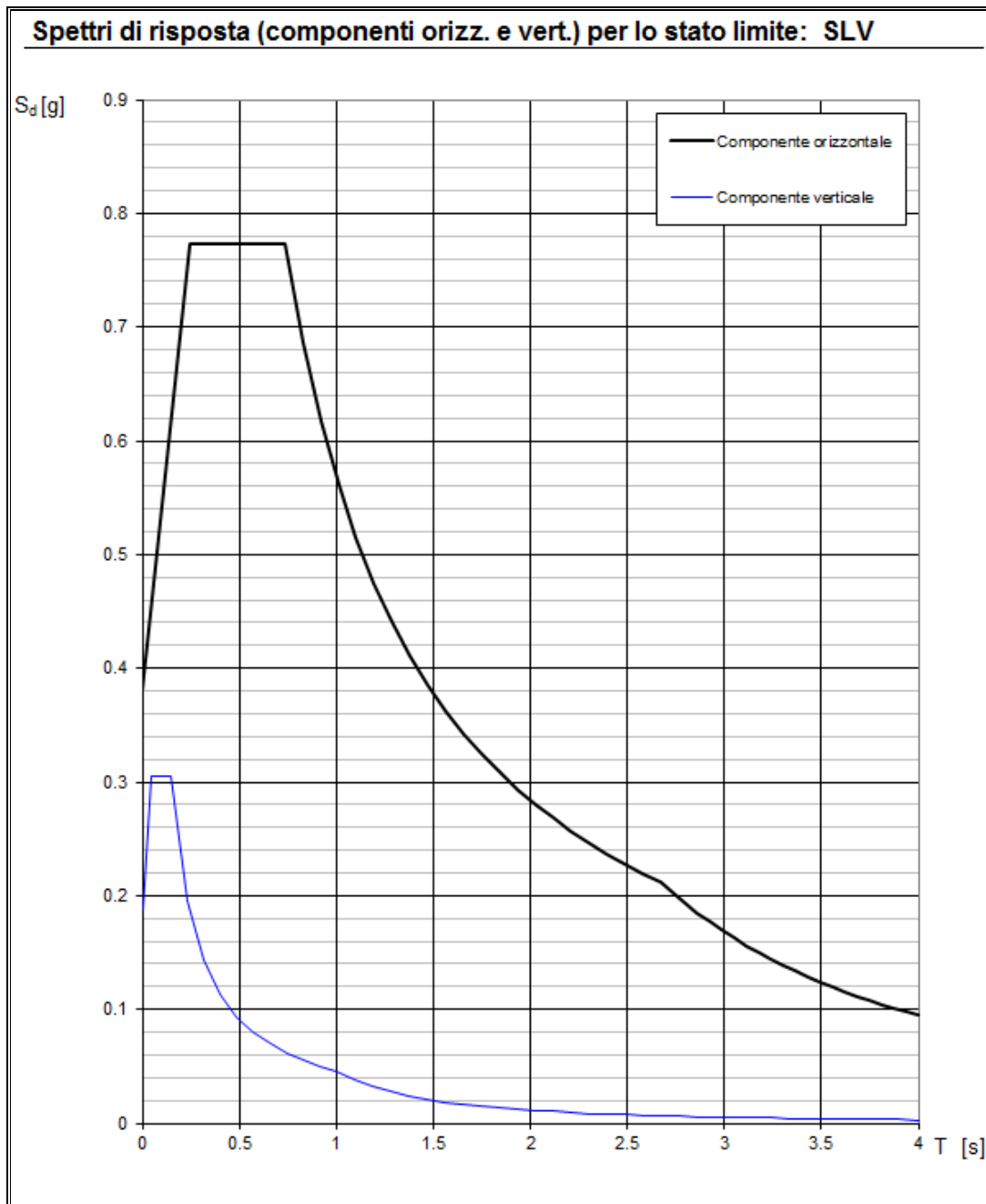
$$T_D \leq T \quad S_s(T) = a_g \cdot S \cdot \eta \cdot F_o \cdot \left(\frac{T_C T_D}{T^2} \right)$$

Lo spettro di progetto $S_d(T)$ per le verifiche agli Stati Limite Ultimi è ottenuto dalle espressioni dello spettro elastico $S_e(T)$ sostituendo η con $1/q$, dove q è il fattore di struttura. (NTC-08 § 3.2.3.5)

Punti dello spettro di risposta

	T [s]	Se [g]
	0.000	0.380
T_B	0.245	0.774
T_C	0.734	0.774
	0.826	0.687
	0.918	0.618
	1.011	0.562
	1.103	0.515
	1.195	0.475
	1.288	0.441
	1.380	0.411
	1.472	0.385
	1.565	0.363
	1.657	0.342
	1.749	0.324
	1.842	0.308
	1.934	0.293
	2.027	0.280
	2.119	0.268
	2.211	0.257
	2.304	0.246
	2.396	0.237
	2.488	0.228
	2.581	0.220
T_D	2.673	0.212
	2.736	0.203
	2.799	0.194
	2.863	0.185
	2.926	0.177
	2.989	0.170
	3.052	0.163
	3.115	0.156
	3.178	0.150
	3.242	0.144
	3.305	0.139
	3.368	0.134
	3.431	0.129
	3.494	0.124
	3.558	0.120
	3.621	0.116
	3.684	0.112
	3.747	0.108
	3.810	0.104
	3.874	0.101
	3.937	0.098
	4.000	0.095

Progetto di un impianto agro-voltaico, denominato Duanera, provvisto di inseguitori mono-assiali e relative opere connesse, di potenza di immissione in rete pari a 25,025 MW (potenza di picco pari a 30,20 MWp), da ubicarsi nel Comune di Foggia (FG).



9. METODI E PARAMETRI DI CALCOLO DEI TRACKER

Diversi studi hanno dimostrato che alcuni standard del codice di progettazione del vento applicati agli inseguitori solari non sono sufficienti per progettare queste strutture in modo affidabile, in quanto non considerano gli effetti del secondo ordine prodotti dall'azione del vento sul localizzatore. Al fine di prevenire i relativi problemi di instabilità strutturale, è necessario trovare nuove metodologie di analisi che

migliorino la progettazione di strutture tracker affidabili quantificando la loro risposta agli effetti del vento del secondo ordine.

Allo scopo, per le strutture di sostegno di che trattasi, sono stati effettuati alcuni calcoli preliminari di secondo ordine utilizzando un metodo innovativo, sviluppato da consulenti eolici RWDI in collaborazione con Soltec. Tale metodo denominato Dy-WIND consiste in un'analisi dinamica completa del design della struttura, che tiene conto della disposizione a file continue e quindi dell'azione dinamica di scia del vento che si origina su una fila quando esso lascia la fila precedente. Con 15 anni di esperienza specialistica, Soltec ha incorporato questo metodo nella progettazione di inseguitori.

9.1 Il Metodo di studio

Nella progettazione di inseguitori solari diversi sono i fattori che influenzano la loro risposta agli effetti dinamici del vento. L'equazione del moto presenta la seguente forma:

$$I \cdot \ddot{\alpha} + k \cdot \alpha + c \cdot \dot{\alpha} = MSE + MBUFF$$

Al fine di studiare gli effetti del vento sulla struttura del tracker devono essere considerati diversi fenomeni come la fluttuazione del vento e la turbolenza. La parte di fluttuazione dei carichi del vento è dovuta alla turbolenza del vento e alla risposta dinamica della struttura. I carichi inerziali dovuti alla vibrazione risonante possono aumentare in modo significativo i carichi fluttuanti del vento.

L'approccio sviluppato combina i risultati dei test in galleria del vento con l'analisi numerica per studiare l'influenza dei principali meccanismi che causano vibrazioni o instabilità nel tracker.

9.2 Vibrazione di risonanza

La vibrazione di risonanza è causata dal generatore wind buffer o dall'effetto di risonanza della scia causato dalla turbolenza generata dalle file sopravento di un campo tracker. Questo meccanismo è studiato con i dati sulla pressione in galleria del vento e l'amplificazione del carico è rappresentata da un metodo ibrido di dinamici fattori di amplificazione (DAF) e metodo di analisi del buffer (BAM) utilizzando i dati della galleria del vento come input.

9.3 Flutter torsionale

Flutter è un'instabilità aerodinamica autoeccitata in cui le forze aerodinamiche dipendono dalla rotazione della velocità angolare della struttura stessa, e può portare ad ampiezze molto ampie in moto torsionale o movimento torsionale e verticale accoppiato. Per inseguitori che fanno affidamento su un tubo di torsione centrale guidato da una singola posizione, viene creata una modalità di vibrazione a torsione da una forma

Progetto di un impianto agro-voltaico, denominato Duanera, provvisto di inseguitori mono-assiali e relative opere connesse, di potenza di immissione in rete pari a 25,025 MW (potenza di picco pari a 30,20 MWp), da ubicarsi nel Comune di Foggia (FG).

di vibrazione generalmente iniziata alle estremità della fila. Flutter torsionale caratterizza l'elevato angolo di inclinazione.

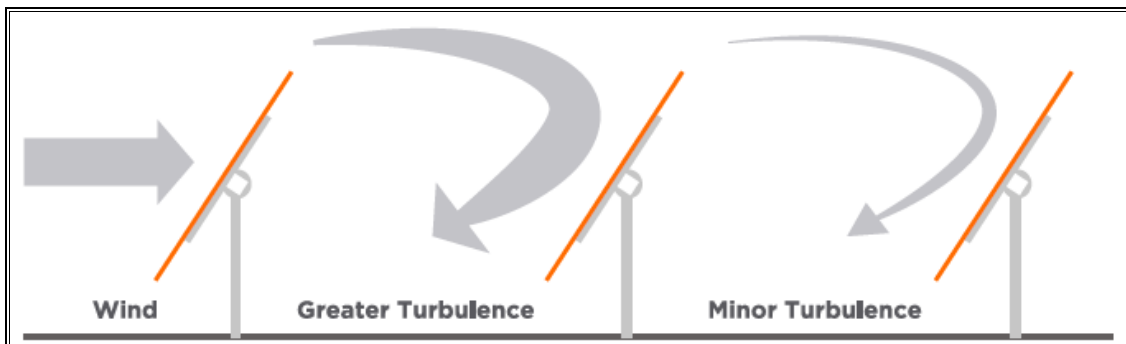


Fig. 11. Azione e distribuzione dei vortici di vento

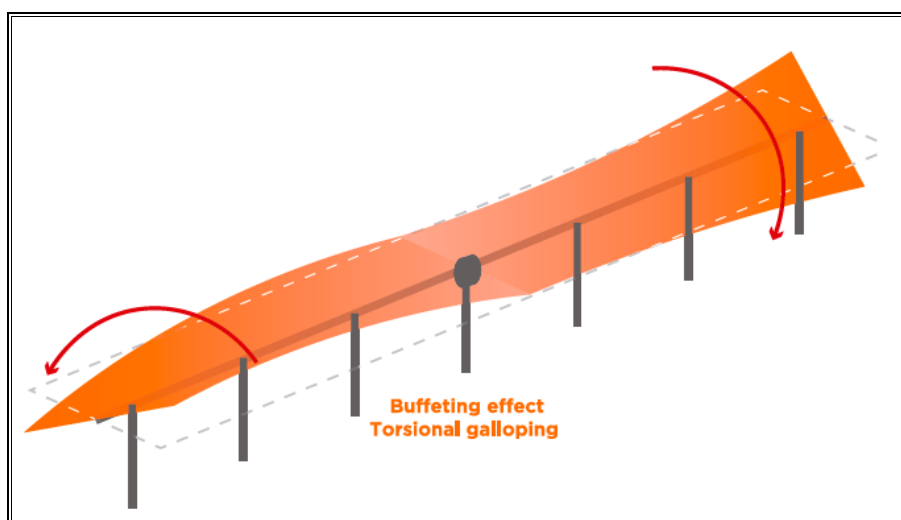


Fig. 12. Effetti torsionali dovuti ai vortici di vento

9.4 Galoppo torsionale

Questa instabilità dipende dalla rotazione della struttura e può portare a grandi risposte nella stessa a causa delle vibrazioni nel momento di beccaggio aerodinamico. All'inizio, il crescente movimento di beccaggio riduce la rigidità strutturale complessiva, determinando torsioni unidirezionali della struttura o movimenti oscillatori a seconda della rigidità residua della struttura. Con l'aumentare della velocità del vento è probabile che questa instabilità causerà un guasto una volta superata la resistenza. Questa instabilità è indicata come "Torsional Galloping", che caratterizza il comportamento dell'angolo di inclinazione basso.

Progetto di un impianto agro-voltaico, denominato Duanera, provvisto di inseguitori mono-assiali e relative opere connesse, di potenza di immissione in rete pari a 25,025 MW (potenza di picco pari a 30,20 MWp), da ubicarsi nel Comune di Foggia (FG).

Due analisi numeriche sono implementate per affrontare i meccanismi 2 e 3:

- *Fluttering Analysis Method (FAM): predice la massima velocità del vento consentita prima che si verifichi l'instabilità;*
- *Buffeting Analysis Method (BAM): predice la risposta del tracker (carico a deflessione) a causa dell'azione del vento per gli array a più righe nel dominio del tempo.*

Per eseguire queste analisi numeriche è fondamentale condurre due tipi di test in galleria del vento. I dati sperimentali ottenuti nella galleria del vento sono combinati con metodi numerici per ottenere ciascun metodo (DAF-BAM, FAM e BAM).

Il test convenzionale della pressione in galleria del vento utilizza modelli rigidi e può prevedere la forza del vento su ciascuna fila tenendo conto della scia del flusso d'aria dietro ogni fila. Questo funziona per determinare i fattori di amplificazione dinamica (DAF) per coprire l'intervallo di velocità del vento di progetto

e tutte le direzioni del vento. Anche le misurazioni della velocità del vento con questo modello sono necessarie come input in FAM e BAM per gli array a più righe.

Il test dinamico della galleria del vento utilizza modelli aeroelastici per catturare la risposta e inoltre prevedere il comportamento della struttura in funzione della velocità del vento e del tempo. Questo funziona per determinare i coefficienti FAM e BAM.

9.5 Pressione del vento in galleria e test di velocità (modelli rigidi + DAF)

I coefficienti di carico statico del vento sono ottenuti dalle prove di pressione nella galleria del vento. Questi coefficienti non includono una tolleranza per il caricamento risonante causato da vibrazioni risonanti o buffering indotto dal risveglio. I fattori dinamici di amplificazione (DAF) rappresentano l'amplificazione del circuito dovuta a questi effetti, in base alla frequenza naturale di vibrazione del sistema strutturale, alla velocità del vento, alla lunghezza della corda e allo smorzamento nel sistema. Sono inoltre necessarie misurazioni della velocità del vento che forniscono il relativo cambiamento di velocità attraverso un array utilizzando il modello rigido come input in FAM e BAM.

È importante notare che questi coefficienti si basano su test in galleria del vento utilizzando modelli rigidi e, pertanto, non includono effetti di interazione fluido-struttura (o effetti aeroelastici). Questi effetti sono calcolati utilizzando i dati della pressione del tunnel del vento misurati come input per l'analisi del buffer del dominio del tempo. Questo approccio ibrido di *Dynamic Amplification Factors e Buffeting Analysis Method* consente una previsione completa del carico su array multi-fila su tutte le velocità del vento e le

Progetto di un impianto agro-voltaico, denominato Duanera, provvisto di inseguitori mono-assiali e relative opere connesse, di potenza di immissione in rete pari a 25,025 MW (potenza di picco pari a 30,20 MWp), da ubicarsi nel Comune di Foggia (FG).

direzione del vento. Questo metodo mostra che le prime due righe esterne in un campo di tracker sono le più colpite. Oltre la seconda fila, le file di inseguitori hanno un effetto di riparo e le forze del vento sulle file interne sono notevolmente ridotte.

9.6 Test dinamici della galleria del vento

Per studiare gli effetti aeroelastici associati alle instabilità, devono essere affrontati FAM e BAM. Il primo passo per eseguire questi due metodi è quello di ottenere i derivati aerodinamici dai test dinamici della galleria del vento e quindi implementare metodi e simulazioni numerici.

Per fare ciò, una sezione del tracker viene modellata su una scala appropriata, quindi viene esaminata nella galleria del vento progettata per questo scopo. Implementando un sistema di sospensione a molla e utilizzando lo smorzamento a correnti parassite, la rigidità torsionale, l'inerzia e il coefficiente di smorzamento vengono replicati, consentendo la rotazione del modello.

Una volta ottenuti i derivati aerodinamici (per la rigidità e lo smorzamento) nella galleria del vento, vengono sviluppati due diversi modelli numerici per implementare gli studi FAM e BAM:

- *FAM: utilizza un modello numerico, misurazioni della velocità del vento da matrici a più righe e i derivati aerodinamici per prevedere la velocità massima del vento a posizioni di angolo di inclinazione variabile prima che il localizzatore diventi instabile e si verifichi il galoppo/flutter torsionale.*
- *BAM: utilizza un modello numerico, misurazioni della velocità del vento e della pressione da matrici multiple, i derivati aerodinamici e le fluttuazioni del vento per prevedere la deflessione torsionale del localizzatore. Questo modello numerico può anche essere utilizzato per estrarre le forze autoeccitate, le forze inerziali e le forze del vento che agiscono sul tracker per la progettazione.*

9.7 Flutter Analysis Method (FAM)

La stabilità del tracker viene analizzata per valutare la sua risposta alle azioni dinamiche del vento. È importante che i fenomeni di instabilità, come il galoppo torsionale e il flutter torsionale, siano presi in considerazione quando si progettano i tracker e si predice il loro comportamento.

I risultati di questa analisi forniscono la variazione dello smorzamento totale (strutturale + aerodinamico) in funzione della velocità del vento. L'instabilità è definita come il punto in cui lo smorzamento totale è inferiore a 0. Questo studio è molto rilevante in quanto contrassegna la velocità del vento critico prima che il tracker vada in un'instabilità.

Questo metodo può essere applicato a matrici a più file mediante l'applicazione di misurazioni della velocità del vento a diversi angoli di inclinazione del localizzatore e mostra come la rigidità torsionale del

Progetto di un impianto agro-voltaico, denominato Duanera, provvisto di inseguitori mono-assiali e relative opere connesse, di potenza di immissione in rete pari a 25,025 MW (potenza di picco pari a 30,20 MWp), da ubicarsi nel Comune di Foggia (FG).

sistema (strutturale + aerodinamica) diminuisca con l'aumentare della velocità del vento. Questa influenza ha associato ad essa una perdita di frequenza naturale, quindi il tracker tende ad essere più suscettibile alle azioni di buffeting del vento quando la velocità del vento aumenta per gli angoli di inclinazione bassi.

9.8 Metodo di analisi del buffer (BAM)

L'applicazione di questo metodo predice meglio il comportamento di un array tracker multi-fila sotto l'azione del vento, fornendo al contempo flessibilità nel processo di progettazione generalmente non pratico attraverso il test completo del modello aeroelastico. Questo metodo può simulare sia l'intero spettro delle fluttuazioni della turbolenza del vento sia la risposta del tracker a causa di forze auto-eccitazione e di buffeting. La forzatura dinamica è amplificata dal movimento strutturale e potrebbe produrre problemi strutturali con velocità del vento al di sotto della velocità di insorgenza critica per un'instabilità aerodinamica.

BAM è il metodo raccomandato per tenere conto dell'intero spettro delle fluttuazioni del picco del vento. Ciò significa che il momento massimo o la massima rotazione del tracker saranno calcolati dalla velocità massima del vento di picco, che rappresenta il carico del caso peggiore. Questo è fondamentale nelle regioni prossime alla massima velocità del vento consentita prima che si verifichi instabilità.

Con questo metodo, i momenti massimi e la forza dovuta alle azioni del vento possono essere analizzati in ogni membro del tracker, quindi la progettazione di ciascuna di queste parti è più affidabile rispetto a qualsiasi altro metodo.

I risultati dell'analisi del buffer nelle serie temporali della rotazione del tracker e queste risposte possono essere utilizzate per prevedere la risposta massima del momento indotta dal vento, i picchi di fluttuazione del vento, i carichi inerziali e le forze autoeccitate. Se lo smorzamento complessivo nel sistema è negativo, la soluzione numerica per il localizzatore sarà instabile (oltre la velocità massima consentita del vento indicata nell'analisi del flutter).

9.9 Confronto tra carichi di vento statici e dinamici

L'effetto maggiore prodotto dal vento è il momento torsionale. Questo momento di torsione influisce sul tubo di torsione e sul gruppo di supporto del motore. È notevolmente aumentato dagli effetti dinamici descritti in questo documento. Nelle tabelle seguenti c'è un confronto tra i momenti statici e quelli dinamici che influenzerebbero ciascuno dei componenti del tracker per diverse velocità del vento secondo ASCE 7 ed Eurocode.

Progetto di un impianto agro-voltaico, denominato Duanera, provvisto di inseguitori mono-assiali e relative opere connesse, di potenza di immissione in rete pari a 25,025 MW (potenza di picco pari a 30,20 MWp), da ubicarsi nel Comune di Foggia (FG).

10. PALI DI ILLUMINAZIONE E VIDEOSORVEGLIANZA

La verifica strutturale degli elementi lineari in progetto, necessari per la realizzazione del sistema di illuminazione delle aree, utilizzati anche quali sostegni per gli apparati elettrici di videosorveglianza, consiste nel determinare la profondità di infissione nel terreno tale da soddisfare i requisiti di sicurezza strutturale delle parti in elevazione nei confronti delle azioni dinamiche indotte dal vento. Si ha stabilità quando il volume del terreno intorno alla base del palo è in grado di contrastare il momento di abbattimento generato dalle azioni del vento $Q=(h+c/2)$ con h altezza fuori terra del palo e c profondità di infissione.

Definendo k = pressione sul terreno limite con valori tipici di circa 3,9 daN/cm² per ghiaie, sabbia asciutta compatta; 2,0 daN/cm² per terreno vegetale consistente e 1,0 daN/cm² per terreno di riporto e argilla umida sabbiosa, la verifica è soddisfatta quando

$$\sigma_c \leq k$$

Il valore di σ_c è calcolabile mediante la relazione

$$\sigma_c = \frac{\left(h + \frac{c}{2}\right)}{\pi \cdot \frac{D \cdot c^2}{48} \cdot 10^4} \leq k$$

Indicando con D il diametro del palo in prossimità del terreno.

Con la soprariportata relazione empirica è possibile determinare la profondità di infissione minima che garantisce l'equilibrio del sistema. È rinviata alla fase di progettazione esecutiva l'effettivo dimensionamento in ragione delle sezioni definitive dei lampioni e delle relative caratteristiche meccaniche dei materiali.

Per le caratteristiche geometriche si rimanda agli elaborati grafici di progetto.

11. RECINZIONI E CANCELLI

Assimilando recinzioni e cancelli a strutture a mensola incastrate al terreno (per i cancelli lo schema vale per i pilastri terminali), si considera che le tensioni sulla mensola vengono determinate dalla spinta orizzontale con conseguente generazione di una matrice di sollecitazione alla base. Con tale schema statico è possibile stimare i momenti di ribaltamento dei montanti e conseguentemente determinare la profondità di infissione della recinzione in ragione dell'effettiva modalità di posa. Per i cancelli allo stesso modo si dimensiona il basamento in calcestruzzo delle colonne.

Progetto di un impianto agro-voltaico, denominato Duanera, provvisto di inseguitori mono-assiali e relative opere connesse, di potenza di immissione in rete pari a 25,025 MW (potenza di picco pari a 30,20 MWp), da ubicarsi nel Comune di Foggia (FG).

Il calcolo esatto è rinviato alla fase esecutiva di progettazione con riferimento alle definitive caratteristiche meccaniche dei materiali impiegati. Per le caratteristiche geometriche si rimanda agli elaborati grafici di progetto.

12. CONCLUSIONI

Vista la natura dell'opera le azioni significative per il pre-dimensionamento delle strutture di sostegno degli inseguitori solari sono rappresentate dalla distribuzione dei carichi derivanti dalle azioni del vento. Altre azioni minori e certamente non dimensionanti, sono rappresentate dal peso proprio delle strutture, dal carico da neve e dalle azioni dinamiche indotte dalle sollecitazioni sismiche.

Le sollecitazioni derivanti da dette azioni risultano secondarie all'analisi strutturale rispetto alle azioni dinamiche indotte dal vento, visto soprattutto la trascurabile massa dei moduli che ricopre un ruolo determinante nelle verifiche statiche e dinamiche da sisma. Inoltre, vista la posizione dell'area di intervento i carichi da neve risultano marginali.

Per ciò che riguarda le restanti componenti minori quali container, cabinet, recinzioni, cancelli e pali di illuminazione, trattandosi di elementi standard si rimanda alla fase di progettazione esecutiva per le specifiche verifiche della sicurezza strutturale essendo comunque valutata, in via preliminare, la compatibilità strutturale delle opere in progetto.

Rinviando alla progettazione esecutiva la verifica strutturale delle opere secondo i dettami delle NTC2018, considerando quindi l'analisi dei carichi rigorosa e la combinazione delle azioni sui vari elementi strutturali, dalle verifiche svolte è evidente la piena compatibilità dell'opera per come pre-dimensionata, sotto l'aspetto statico e dinamico.

Foggia, Luglio 2022



Il tecnico

Arch. Antonio Demaio